

تجزیه پروتئوم بذر علف گندمی بلند (*Agropyron elongatum*) تحت شرایط تنش خشکی و دمای پایین

علی موادی^۱، فرزاد شریف زاده^۲، رضا توکل افشاری^{۳*} و رضا معالی امیری^۲
۱، استادیار دانشگاه یاسوج، ۲ و ۳، دانشیاران و استاد پردیس کشاورزی منابع طبیعی دانشگاه تهران
(تاریخ دریافت: ۹۱/۷/۴ - تاریخ تصویب: ۹۲/۴/۱۸)

چکیده

در طی دوره رسیدگی بذر و جوانه‌زنی پس از آن، تغییرات عمدہای در بیان ژن‌ها، فرایندهای متابولیک و وضعیت فیزیولوژیک بذر رخ می‌دهد. به‌منظور ارزیابی الگوی پروتئوم بذرهاي علف گندمی بلند در شرایط متفاوت رشدی شامل: بهینه (دمای 20°C و پتانسیل آبی صفر بار)، تنش خشکی (دمای 20°C و پتانسیل آبی -6 بار) و تنش دمای پایین (دمای 6°C و پتانسیل آبی صفر بار) برای جوانه‌زنی قرار گرفتند. نمونه‌برداری از بذرهاي خشک (زمان صفر) و بذرهاي جوانه‌زده در شرایط بهینه، تنش خشکی و دمای پایین به ترتیب در ۱۴ و ۹۶ ساعت پس از شروع آزمایش (پیش از خروج ریشه‌چه) انجام شد. به‌منظور شناسایی پروتئین‌های استخراج شده از روش انگشت‌نگاری جرم پیتید^۱ استفاده شد، که بدین منظور از روش MS (MALDI-TOF)^۲ برای شناسایی لکه‌ها استفاده شد. در این سه گروه مقایسه‌ای تعداد ۱۱۴ لکه دچار تنظیم افزایشی و یا کاهشی شد. بیشترین میزان تغییرات در میان این گروه‌ها نیز در مقایسه بذر جوانه‌زده در شرایط تنش دمای پایین و بذر خشک با ۷۸ لکه تغییر یافته مشاهده شد، که از میان آنها ۶۵ لکه دچار تنظیم افزایشی و ۱۳ لکه دچار تنظیم کاهشی بودند. کمترین میزان تغییرات نیز در مقایسه بذرهاي جوانه‌زده در شرایط بهینه و بذرهاي خشک مشاهده شد که از آنها دچار تنظیم افزایشی و ۱۱ لکه دچار تنظیم کاهشی شده بود. بررسی لکه‌ها در مقایسه بذرهاي جوانه‌زده در شرایط بهینه (۱۴ ساعت پس از شروع جوانه‌زنی) با بذرهاي خشک (زمان صفر) نشان داد که $2\text{--}3/2$ برابر افزایش بیشترین افزایش، ساکارز سیستاز $3/2$ با $2/7$ برابر افزایش و فاکتور رونویسی با $2/3$ برابر افزایش بیشترین میزان تغییرات افزایشی را نشان دادند. به علاوه در گروه تیماری مذکور اینورتاز دیواره سلولی با $3/9$ برابر کاهش، پروتئین شوک گرمایی با $2/4$ برابر کاهش و اکتین با 2 برابر کاهش به ترتیب بیشترین میزان تغییرات کاهشی را در بذرهاي جوانه‌زده در شرایط بهینه نسبت به بذرهاي خشک به خود نسبت دادند. مقایسه الگوی پروتئوم بذرهاي جوانه‌زده در شرایط تنش خشکی با بذرهاي خشک نشان داد که گلوبولین $3/2$ با $2/9$ برابر افزایش، پروتئین شوک گرمایی با $2/6$ برابر افزایش و پروتئین کیناز وابسته به کلسمیم با $2/1$ برابر افزایش بیشترین میزان افزایش را در این گروه مقایسه‌ای به خود نسبت دادند. در میان پروتئین‌های با تغییرات کاهشی نیز پروکسی ریدوکسین، پروتئین شوک حرارتی، گلیسرآلدهید $3\text{-}4$ -فسفات دهیدروژناز و پروتئین شوک گرمایی در بذرهاي جوانه‌زده به ترتیب $4/8$ ، $4/2$ ، $3/1$ و 3 برابر نسبت به بذرهاي خشک کاهش نشان داد. مقایسه بذر جوانه‌زده در شرایط دمای پایین با بذر خشک نشان داد که زیرواحدهای مختلف گلوتنین و آنژیم بتا-آمیلاز بیشترین سهم را در لکه‌های افزایش یافته به خود نسبت دادند. در این میان فاکتور رونویسی با $3/2$ برابر افزایش و گلوتنین با $3/1$ برابر افزایش بیشترین افزایش را به خود نسبت دادند.

واژه‌های کلیدی: علف گندمی بلند، جوانه‌زنی، تنش خشکی، تنش دمای پایین، تجزیه پروتئوم

1. Peptide Mass Fingerprint

2. Mass Spectrometry (Matrix-Assisted Laser Desorption Ionization Time-Of-Flight)

مقدمه

در شرایط دمای پایین گزارش شده است. انتخاب برای بهبود جوانهزنی در یک تنیش ممکن است جوانهزنی در شرایط تنیش‌های دیگر را نیز بهبود بخشد. در گیاه گوجه فرنگی انتخاب برای جوانهزنی در شرایط یک تنیش منجر به افزایش جوانهزنی در سرما و خشکی نیز شد (فولاد و همکاران ۲۰۰۳). اخیراً تعداد زیادی از ژنها که دارای نقش در شرایط تنیش خشکی و سرما هستند مورد بررسی قرار گرفته‌اند (سیکی و همکاران ۲۰۰۱). این ژن‌ها در تعدادی از مطالعات نیز به‌منظور بهبود تحمل به تنیش مورد استفاده قرار گرفته‌اند پستوا و همکاران (۲۰۰۸) با ارزیابی cDNA بذرهای در حال جوانهزنی چون در شرایط تنیش دچار تغییر شدند که ۸۸ ژن در نمودند که ۱۵۸ ژن دچار تغییر شدند که ۸۸ ژن در شرایط تنیش دچار تغییرات افزایشی و مابقی کاهش یافتدند. ژن‌های افزایش یافته در متابولیسم کربوهیدرات، چرخه گلیکولیز و پنتوپسفات فعال بوده و ژن‌های کاهش یافته نیز دارای نقش‌هایی در چرخه گلی-اکسالات، بیوستتر پروتئین و پروتئین‌های با نقش چاپرونی بودند. در مطالعه‌ای دیگر سیکی و همکاران (۲۰۰۱) بیان ۱۳۰۰ ژن را در در شرایط تنیش خشکی و سرمایی بر جوانهزنی بذر آرابیدوپسیس بررسی و مشاهده نمودند که ۴۴ cDNA مخصوص سرما و ۱۹ تا مخصوص تنیش خشکی بود. ژن‌های فعال شده در شرایط تنیش سرما آنزیم‌های از بین برنده اکسیژن مانند کاتالاز، گلی‌اکسیلاز، و نیز آنزیم‌های چرخه گلیکولیز مانند انولاز بودند، در حالی که پرکسی‌ریدوکسین و اسکوربات پراکسیداز در هر دو شرایط افزایش بیان نشان دادند.

مطالعه پروتئوم یکی از راهکارهای اساسی برای مطالعات post-genomics است. زیرا امکان بررسی بخش‌های ترجمه شده ژنوم در هر مرحله رشد و نموی و شرایط محیطی را فراهم می‌کند. پروتئین‌های برش داده شده از ژلهای دوبعدی نه تنها قابل شناسایی و تعیین هویت هستند، بلکه کمیت آنها که در اصل کنترل ژنتیکی دارد از طریق نرم‌افزارهای کامپیوتری قابل تخمین است (دوین و زیوی ۱۹۹۹). درک صحیح فرایندهای مولکولی تحمل و یا حساسیت به تنیش‌ها در

علف گندمی بلند (*Agropyron elongatum*) بومی ایران بوده که در سطح نسبتاً وسیعی در مراتع ایران حضور داشته و در برنامه‌های بذرپاشی دیم‌زارهای کمبازده از آن استفاده می‌شود. این گیاه از نظر تولید علوفه سبز و خشک دارای اهمیت فراوانی بوده و در حفاظت دیم‌زارها از فرسایش‌های آبی و بادی کمک فراوانی می‌نماید. علف گندمی با مقاومت بالا به خشکی قابلیت توسعه فراوانی در مناطق خشک و نیمه خشک دارد. نوسانات شدید دمایی و رطوبتی از ویژگی‌های مهم این مناطق بوده که منجر به کاهش میزان جوانهزنی و افزایش نرخ مرگ و میر گیاهچه‌های جوانه‌زده می‌شود. از دیدگاه مولکولی و بیوشیمیابی مطالعه جوانهزنی مشکل است، زیرا که یک جمعیت بذری به‌طور همزمان فرایندهای جوانهزنی را تکمیل نمی‌نماید (مکدونالد ۲۰۰۰). در شرایط مختلف تنیش‌زای محیطی جوانهزنی بذر بسته به پس‌زمینه ژنتیکی بذر کاهش یافته یا متوقف می‌شود. رشد گیاه به میزان معنی‌داری تحت تأثیر تنیش‌های غیر زنده مانند تنیش سرما و خشکی قرار می‌گیرد. در این میان تنیش خشکی عمده‌ترین عامل محدود کننده رشد گیاهان و تولید گیاه می‌باشد. تنیش دمای پایین یکی دیگر از مهمترین عوامل تأثیرگذار بر روی جوانهزنی بذر است. کاهش جوانهزنی بذر منجر به کاهش استقرار گیاهچه، استقرار غیریکنواخت و درنهایت کاهش عملکرد گیاه می‌شود. در چنین شرایطی گیاهان به‌منظور زنده‌ماندن و حفظ بقاء خود عکس‌عمل‌هایی از خود نشان می‌دهند. درک مکانیسم‌هایی که گیاه به‌وسیله آنها به تنیش پاسخ می‌دهد دارای اهمیت حیاتی در مطالعات بیولوژی گیاهی است.

این مهم است که نقش ژن‌ها و پروتئین‌های دخیل در پاسخ به تنیش را تجزیه نمود تا مکانیسم‌ها مولکولی تحمل به تنیش بهتر درک شود. به دست آوردن اطلاعات در این باره جهت دست‌یابی به رشد متابولیم و تولید گیاهان با تحمل بالا به تنیش نیاز می‌باشد (پستوا و همکاران ۲۰۰۸).

تغییرات زیادی در رابطه با بیان ژن‌ها، تغییر ترکیبات غشایی و تجمع ترکیبات با وزن مولکولی پایین

به صورت مشترک در آزمایشگاه بذر دانشگاه تهران و آزمایشگاه پروتئومیکس دانشگاه DTU (دانشگاه فنی دانمارک) انجام شد. مقایسات صورت گرفته در بذرها شامل (۱) بذر جوانه‌زده در شرایط بهینه (دما ^{0}C و پتانسیل آبی صفر بار) در مقابل بذر خشک؛ (۲) بذر جوانه‌زده در شرایط تنفس خشکی (دما ^{0}C و پتانسیل آبی صفر بار) در مقابل بذر خشک؛ و (۳) بذر جوانه‌زده در شرایط تنفس دمای پایین (دما ^{0}C ۶ و پتانسیل آبی صفر بار) در مقابل بذر خشک بود.

بدین منظور از هر تیمار ۱۰ تکرار ۵۰ تایی بذر درون پتریدیش‌های شیشه‌ای به قطر ۱۰ سانتی متر کاشته شده و بسته به نوع تیمار و شدت تنفس (۹۶، ۳۶ و ۱۴ ساعت) از بذرها موجود در پتریدیش‌ها نمونه برداری (قبل از خروج ریشه‌چه) به عمل آورده و نمونه‌های بذری پس از برداشتن بلا فاصله درون پوشش‌های آلومینیومی پیچیده شده و در نیتروژن مایع منجمد گردیدند و تا زمان استفاده درون یخچال ^{0}C -۸۰ نگهداری شدند.

رسوب‌دادن و استخراج پروتئین‌ها^۲

استخراج و رسوب‌دهی پروتئین‌ها به روش TCA- acetone انجام شد. به منظور استخراج پروتئین‌ها برای هر یک از تیمارها یک گرم بذر درون هاون چینی حاوی نیتروژن مایع کوبیده شد و پودر حاصله به فالکون‌های ۱۵ میلی لیتری حاوی ۱۰ میلی لیتر محلول^۳ TCA سرد منتقل داده شدند.

تعیین غلظت پروتئین‌ها

مقدار پروتئین نمونه‌های حاصل با استفاده از روش برادرورد (۱۹۶۱) تعیین شد. برای این منظور از کیت PIERCE Biotechnology خریداری شده از شرکت Coomassie Protein Assay Reagent Kit (استفاده) شد.

اجرای بعداول الکتروفوروز (Isoelectric focusing)

در این مرحله پروتئین‌ها بر حسب بار الکتریکی آنها در یک میدان الکتریکی از یک دیگر تفکیک شدند. در این تحقیق از ژلهای از پیش آماده با pH های ثابت با عنوان Immobiline pH gradient (IPG) استفاده شد.

2. Protein precipitation and extraction
3. TrichloroAcetic Acid

مرحله جوانه‌زنی می‌تواند به اصلاح‌گران در انتخاب لاینهای مناسب برای شرایط تنفس و یا بهبود و توسعه ارقام مقاوم به تنفس کمک نماید. در این راستا پروتئومیکس یکی از رهیافت‌های مهم برای درک اساس مولکولی جوانه‌زنی در شرایط تنفس خشکی و سرما است تا تغییرات القاء شده توسط تنفس در سطح پروتئین‌ها مورد شناسایی و بررسی قرار گیرد.

اگرچه مطالعات بسیاری در باره جنبه‌های فیزیولوژیکی و زراعی جوانه‌زنی در شرایط تنفس زای مختلف وجود دارد، ولی در مطالعات انجام شده در رابطه با بررسی جنبه‌های مولکولی این جوانه‌زنی در شرایط تنفس به ویژه رابطه بین جوانه‌زنی در شرایط تنفس‌های مختلف اطلاعات کمی وجود دارد. بنابراین این امر برای محققین ضروری به نظر می‌رسد که تعیین نمایند آیا ژن‌های مشابه‌ی یا متفاوتی در جوانه‌زنی بذر در شرایط تنفس زای مختلف نقش دارند. چنین اطلاعاتی می‌تواند به توسعه ارقامی که دارای جوانه‌زنی بالایی در شرایط تنفس‌های مختلف مختص می‌باشند کمک نماید (فولاد و همکاران ۲۰۰۳).

هدف از این آزمایش شناسایی پروتئین‌های دخیل در جوانه‌زنی بذرها علف گندمی بلند در شرایط بهینه رطوبتی-دما ^{0}C ، تنفس خشکی و دمای پایین بود. این پروتئین‌ها می‌توانند به محققین علوم بذر در شناسایی شاخص بنیه گیاه‌چه کمک نموده و به بهینه‌سازی تیمارهای تقویت کننده بذر کمک نماید. این تحقیق عمدهاً بر روی مراحل اولیه جوانه‌زنی (تا قبل از خروج ریشه‌چه) تمرکز نموده و واقعی که پس از خروج ریشه-چه اتفاق افتاده و با رشد و استقرار گیاه‌چه مرتبط است را بررسی نکرده است.

مواد و روش‌ها

تیمارهای بذرها در تجزیه پروتئوم به منظور ارزیابی افزایش یا کاهش بیان پروتئین‌ها در بذرها علف گندمی بلند در شرایط مختلف دما ^{0}C و رطوبتی و نیز چگونگی تغییر الگوی پروتئینی در طول دوره جوانه‌زنی^۱ (پیش از خروج ریشه‌چه)، آزمایشی

1. Germination sensustrico

نتایج و بحث

بررسی تغییرات افزایشی و کاهشی لکه‌های الگوهای پروتئینی در مقایسه بذرهای جوانه‌زده با بذرهای خشک در تیمارهای مختلف حرارتی و رطوبتی با توجه به شکل های ۱ و ۲ مشاهده می‌شود که در این سه گروه مقایسه‌ای تعداد ۱۱۴ لکه دچار تنظیم افزایشی و یا کاهشی شد. بیشترین میزان تغییرات در میان این گروهها نیز در مقایسه بذر جوانه‌زده در شرایط تنفس دمای پایین و بذر خشک با ۷۸ لکه تغییر یافته مشاهده شد، که از میان آنها ۶۵ لکه دچار تنظیم افزایشی و ۱۳ لکه دچار تنظیم کاهشی بودند (شکل ۱ و ۲). کمترین میزان تغییرات نیز در مقایسه بذرهای جوانه‌زده در شرایط بهینه و بذرهای خشک مشاهده شد که ۳۰ لکه از آنها دچار تنظیم افزایشی و ۱۱ لکه دچار تنظیم کاهشی شده بود (شکل ۱).

شرایط بهینه

بررسی لکه‌ها در مقایسه بذرهای جوانه‌زده در شرایط بهینه (۱۴ ساعت پس از شروع جوانه‌زنی) با بذرهای خشک (زمان صفر) نشان داد که لکه‌های ۹۹ (Elonagtaion factor EF2) با ۳/۲ برابر افزایش)، ۱۰۹ (ساکارز سینتاز ۳ با ۲/۷ برابر افزایش)، ۷۴ (فاکتور رونویسی با ۲/۳ برابر افزایش) و ۴۳ (شناسایی نشده با ۲/۲ برابر افزایش) بیشترین میزان تغییرات افزایشی را نشان دادند (جدول ۱).

نمونه‌ای از تغییرات افزایشی و کاهشی لکه‌ها در این گروه در شکل ۳ آمده است.

پروتئین‌ها در گیاهان خانواده غلات عمده‌ترین پروتئین ذخیره‌ای بذر (۴۶ درصد) بذر هستند. این پروتئین‌ها در طی رسیدگی و بلوغ بذر بر روی پایه مادری تولید شده و سپس در طی فرایند جوانه‌زنی شکسته شده و توسط گیاهچه در حال سبزشدن به عنوان منبع غذایی اولیه استفاده می‌شود (شروعی و هالفورد ۲، ۲۰۰۷، نونوگاکی و همکاران ۲۰۰۷). در میان لکه‌های افزایش یافته در طی فرایند جوانه‌زنی لکه‌های ۲۳، ۲۶، ۹۵، ۱۰۰، ۱۱۲ و ۱۲۸ به این گروه پروتئینی اختصاص داشتند. این پروتئین‌ها اغلب زیرواحدهای گلوتونین با وزن مولکولی بالا بوده که در دامنه ۸۰ کیلوواتلون و بیشتر پراکنده شده بودند.

به منظور تعیین بهینه pH مورد نیاز از نوارهایی^۱ با دامنه pH خطی بین ۳-۱۰ استفاده شد. نتایج اولیه نشان دادند که عمده‌ترین پراکنش لکه‌های پروتئینی در دامنه pH های ۴ تا ۷ بوده، لذا نوارهای با همین دامنه pH Strip pH: 4-7) (IPG جهت مطالعات بعدی انتخاب شدند. طول نوارها در این تحقیق ۱۱ سانتی‌متر انتخاب شد.

بعدوم الکتروفوروز (SDS-PAGE)

در این مرحله پروتئین‌هایی که پیش‌تر بر حسب بار الکتریکی جدا شده بودند بر حسب جرم مولکولی تفکیک شدند. برای این منظور از تانک الکتروفوروز دوژلی Ease ۵۶۰ و ژلهای آماده^۲ به ابعاد ۷×۱۰ سانتی‌متر Nu-Page 4-12% Tris Zoom Gel, Invigtron,) استفاده شد.

رنگ‌آمیزی ژلهای^۳

رنگ آمیزی ژلهای طبق روش کانگ و همکاران (۲۰۰۲) و با استفاده از کوماسی^۴ (CBB G250) صورت گرفت.

تجزیه و تحلیل تصاویر ژلهای دوبعدی

پس از اسکن تصاویر جهت تجزیه و تحلیل لکه‌ها^۵ و شناسایی تغییرات موجود بین تیمارها از نرم افزار ProgenesisSpot (Version 3.3; Nonlinear Dynamics) استفاده‌گردید.

شناسایی پروتئین‌ها از طریق روش طیف سنجی جرمی^۶ و جستجو در بانک‌های اطلاعاتی

به منظور شناسایی پروتئین‌های استخراج شده از روش انگشت‌نگاری جرم پیتید^۷ استفاده شد، که بدین منظور ابتدا از روش MS^۸ برای شناسایی لکه‌ها استفاده شد. در ادامه برای لکه‌هایی که به روش مذکور شناسایی نشده بودند، دو تا ۵ پیک از لیست پیک‌های بهدست آمده از تجزیه MS انتخاب شده و تجزیه (MALDI-TOF/ TOF) MS- MS انجام شد.

1. Strip

2. Pre-cast Gels

3. Gel staining

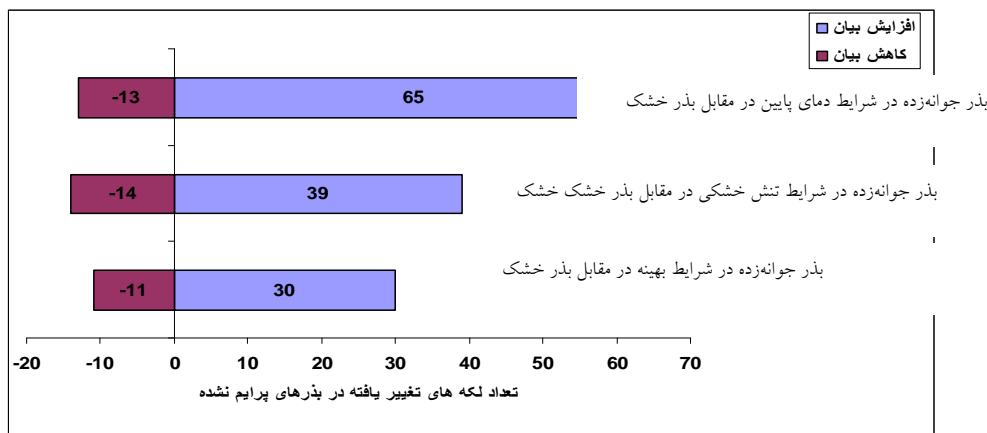
4. Commassie Brilliant Blue

5. Spots

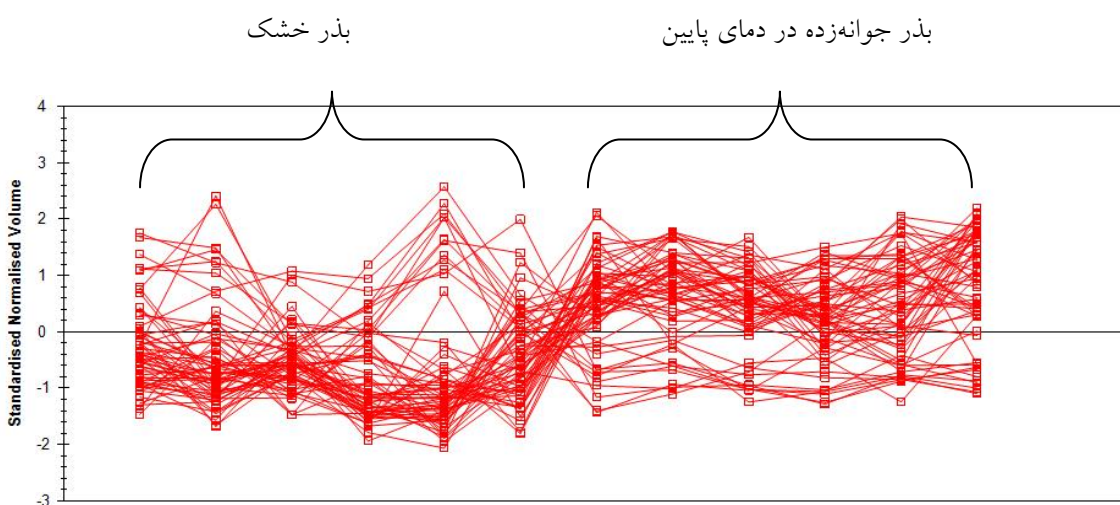
6.Identification of Proteins by Mass Spectrometry (MS)

7.Peptide Mass Fingerprint

8. Mass Spectrometry (Matrix-Assisted Laser Desorption Ionization Time-Of-Flight)



شکل ۱- تعداد لکه‌های تغییر یافته پروتئینی در طی مقایسات انجام شده میان بذرهای جوانه‌زده در شرایط بهینه (دمای 20°C و پتانسیل آبی صفر بار)، تنفس خشکی (دمای 20°C ۶-بار) و دمای پایین (دمای 6°C و پتانسیل آبی صفر بار) با بذرهای خشک.



شکل ۲- دندروگرام الگوی افزایش یا کاهش بیان پروتئین‌ها در مقایسه بذر جوانه‌زده در دمای پایین (دمای 6°C و پتانسیل آبی صفر بار) با بذر خشک. هر خط بیانگر تغییرات یک لکه بوده و نقاط روی خطها نشاندهنده تکرارهای درون تیمارها است.

آنژیم‌های آلفا آمیلاز و بتا آمیلاز شکسته شده و ترکیباتی مانند گلوکز، مالتوز و لیمیت دکستربین^۱ تولید می‌شود (بیولی و بلک ۱۹۹۴). به هر حال از آنجا که بیش از ۷۰ درصد ذخیره بذری غلات را کربوهیدرات‌ها تشکیل می‌دهد بنابراین چندان دور از انتظار نیست که پروتئین‌های دخیل در متابولیسم نشاسته سهم عمده‌ای

یکی دیگر از ترکیبات ذخیره‌ای بذر نشاسته می‌باشد. این ترکیب به دو فرم آمیلاز و آمیلوپکتین که هر دو پلیمرهای گلوکز هستند تشکیل شده است. بسیاری از غلات دارای ۷۵-۵۰٪ آمیلوپکتین و ۲۰-۲۵٪ درصد آمیلاز می‌باشند. در طی فرایند جوانه‌زنی پیوندهای گلیکوزیدی مولکول‌های نشاسته توسط

1. Limit Dextrin

هیدروژن (H_2O_2) و هیدروکسیل (OH) را احیا کند. این آنتی اکسیدان نقش مهمی در حفظ یکپارچگی^۱ هسته در طی دوره خشکشدن بذر دارد (استاسی و همکاران ۱۹۹۹). استاسی و همکاران (۱۹۹۹) عقیده دارند که ۱-سیس پروکسی ریدوکسین فقط در بذرهایی تجمع می‌یابد که تحمل بالایی به تنش خشکی دارند. فینی و همکاران (۲۰۰۲) مشاهده نمودند که پروتئین پروکسی ریدوکسین در ابتدای فاز خشک شدن در بذر جو تجمع یافته و با جوانهزنی بذر کاهش یافت. در میان لکه‌های با کاهش بیان، لکه‌های ۴۰۵، ۴۰۶، ۴۰۷، ۴۱۴ و ۴۱۷ به گروهی از پروتئین‌های شوک گرمایی به نام پروتئین‌های شوک گرمایی کوچک (sHSPs) اختصاص داشتند. شواهدی وجود دارد مبنی بر اینکه HSPs‌ها در محافظت از اجزاء سلولی در طی فرایند اکتساب تحمل به خشکی در طی دوره رسیدگی بذر و آبگیری بذر در طی فرایند جوانهزنی نقش دارند (ویمر و همکاران ۱۹۹۶). این پروتئین‌ها از توده‌ای شدن غیرقابل برگشت سایر پروتئین‌ها در طی فرایند خشک شدن جلوگیری نموده و به تاخورگی مجدد پروتئین‌ها^۲ و سازماندهی آنها در طی فرایند آبنوشی کمک می‌نماید (ویمر و ویرلینگ ۲۰۰۰). به علاوه گزارش شده است که HSPs‌ها در تشکیل ماتریکس شیشه‌ای^۳ در طی مرحله اکتساب تحمل به خشکی در بذر نیز ایفای نقش می‌نمایند. تشکیل این ماتریکس در سلول از حرکت‌های هرز ماکرومولکول‌ها جلوگیری کرده و منجر به حفاظت از غشاء‌سلولی و پروتئین‌های سیتوپلاسمی در طی مرحله اکتساب تحمل به خشکی می‌شود (والکرز و همکاران ۱۹۹۸). HSPs‌ها به طور بالقوه در همه موجودات زنده در شرایط دمای بالا سنتز می‌شوند. وزن مولکولی این پروتئین‌ها به فرم تکواحدی از ۱۵ تا ۴۲ کیلodalton متغیر است و از پیوستن حدود ۹ تا ۳۰ زبرواحد از این پروتئین‌ها فرم‌های چندواحدی^۴ نیز تشکیل می‌شوند (ویمر و ویرلینگ ۲۰۰۰).

از آنزیم‌های فعال شده در طی جوانهزنی بذر را به خود اختصاص دهنده. نتایج تحقیق حاضر نشان داد که بیان فرم‌های مختلف بتا-آمیلاز (لکه‌های ۱۸۹، ۱۹۲، ۱۹۴، ۲۰۱) و نیز آنزیم سنتز ساکارز (لکه ۱۷۵) در طی فرایند جوانهزنی در مقایسه با بذر خشک بین ۱/۵-۱/۸ برابر افزایش یافت. حاصل فرایند هیدرولیز نشاسته باقیستی به صورت ساکارز تولید شده و به ریشه‌چه و ساقه‌چه گیاهچه‌های در حال رشد انتقال یابد. مشاهده شد که عمدترين آنزيم دخيل در متابوليسم ساکارز يعني ساکارز سينتاز (لکه ۱۰۹ با ۲/۷ برابر افزایش) نیز در بذرهای جوانه‌زده بیشتر از بذرهای خشک بود. این آنزیم UDP-گلوكز حاصل از هیدرولیز نشاسته را با فروکتوز ترکیب نموده و ساکارز تولید می‌نماید. به علاوه این آنزیم فعالیت بالایی در بافت‌های مصرف کننده ساکارز داشته و به نظر می‌رسد که مهمترین نقش را در شکستن ساکارز داشته باشد و اسکلت کربنی مورد نیاز برای فعالیت‌های تنفسی و رشد گیاهچه در حال رشد را در اختیار آن می‌گذارد (وبر و همکاران ۱۹۹۶).

سرپین‌ها (serine protease inhibitors) گروهی از آنزیم‌های بازدارنده پروتئاز بوده که در تحمل به تنش‌های زنده و غیرزنده نقش مهمی دارند. این پروتئین‌ها حدود ۴ درصد از پروتئین‌های محلول بذر را تشکیل داده و نقش مهمی در مهار غیر قابل برگشت پروتئازها دارند (روبرتس و هجگارد ۲۰۰۷). در تحقیق حاضر مشاهده شد که میزان بیان این پروتئین (لکه‌های ۲۳۶ و ۲۳۷ با ۱/۵ برابر افزایش) در طی جوانهزنی در شرایط بهینه افزایش یافت. به علاوه در گروه تیماری مذکور لکه‌های ۲۹۰ (اینورتاز دیواره سلولی با ۳/۹ برابر کاهش)، ۳۴۱ (لکه شناسایی نشده با ۳/۳ برابر کاهش)، ۴۱۴ (پروتئین شوک گرمایی ۱۷ با ۲/۴ برابر کاهش) و ۲۸۶ (اکتین با ۲ برابر کاهش) به ترتیب بیشترین میزان تغییرات کاهشی را در بذرهای جوانه‌زده در شرایط بهینه نسبت به بذرهای خشک به خود نسبت دادند. در این گروه تیماری دو لکه ۳۵۲ و ۳۶۳ به ترتیب با ۱/۵ و ۱/۷ برابر کاهش به پروتئین پروکسی ریدوکسین تعلق داشتند (جدول ۱۰-۶ و شکل ۷-۶). پروتئین پروکسی ریدوکسین زیرمجموعه آنتی اکسیدان‌های وابسته به تیول بوده که می‌توانند ترکیباتی مانند پراکسید

1. Integrity
2. Protein Refolding
3. Glassy Matrix
4. Oligomeric

نیافت، بلکه مقدار آن در بذرهای جوانه‌زده ۲ برابر کمتر از بذرهای خشک بود.

تنش خشکی

در مقایسه الگوی پروتئوم بذرهای جوانه‌زده در شرایط تنش خشکی با بذرهای خشک نشان داد که لکه‌های ۱۴۰ (گلوبولین ۳ با ۲/۹ برابر افزایش)، ۸۷ (پروتئین شوک گرمایی ۱۰۱ با ۲/۶ برابر افزایش) و ۲۰۴ (پروتئین کیناز وابسته نشده با ۲/۶ برابر افزایش) و ۲۰۱ (پروتئین میزان افزایش را به کلسیم با ۲/۱ برابر افزایش)، بیشترین میزان افزایش را در این گروه مقایسه‌ای به‌خود نسبت دادند. در میان ۳۵۲ پروتئین‌های با تغییرات کاهشی نیز حجم لکه‌های (پروکسی ریدوکسین)، ۴۱۴ (پروتئین شوک حرارتی) ۳۴۱ (شناسایی نشده)، ۴۸۲ (گلیسرآلدهید ۳-فسفات دهیدروزناز) و ۴۰۵ (پروتئین شوک گرمایی) در بذرهای جوانه‌زده به ترتیب ۴/۸، ۴/۸، ۴/۲، ۴/۱ و ۳/۱ برابر نسبت به بذرهای خشک کاهش نشان داد (جدول ۲). کاهش بیان پروتئین‌هایی مانند گلیسرآلدهید ۳-فسفات دهیدروزناز، پروتئین شوک گرمایی و پروکسی ریدوکسین با جوانه‌زنی بذر در کلزا نیز گزارش شده است (سوئدا و همکاران ۲۰۰۵). نمونه‌ای از لکه‌های با تغییرات افزایشی و کاهشی در شکل ۳ آمده است.

همانگونه که در شرایط بهینه مشاهده شد جوانه‌زنی بذر در شرایط تنش خشکی نیز منجر به افزایش پروتئین ذخیره‌ای گلوتئین (لکه‌های ۱۲۸، ۱۳۱)، سرپین (لکه‌های ۲۲۲۵، ۲۳۶، ۲۴۱) و نیز آنزیم‌های تجزیه نشاسته یعنی بتا-آمیلاز (لکه‌های ۱۸۲، ۱۸۹، ۱۹۴، ۲۰۱) و سنتزکننده نشاسته (لکه‌های ۱۷۱، ۱۷۲، ۱۷۳، ۱۷۵) شد (جدول ۲)، به نظر می‌رسد که نشاسته به عنوان یک مخزن موقت ذخیره‌ای کربن در طی فرایند جوانه‌زنی عمل نموده که اسکلت کربنی اضافی حاصل از سیال شدن و تجزیه ذخایر بذری (پروتئین‌های ذخیره‌ای و لیپیدها) را تا زمان نیاز درون خود نگهداری می‌کند. در راستای نتایج این آزمایش افزایش فعالیت آنزیم سنتزکننده نشاسته پیوندی گرانول^۳ و به تبع آن افزایش غلظت نشاسته در محور زیرلپه و بالای لپه در بذر در حال جوانه‌زنی *Pinus edulis* گزارش شده است (مورفی

گروه دیگری از لکه‌ها که در طی دوره جوانه‌زنی تجمع یافته‌ند به فاکتورهای دخیل در رونویسی (فاکتور رونویسی؛ لکه ۷۴ با ۲/۳ برابر افزایش) و ترجمه (فاکتور طولی شدن^۱ EF2؛ لکه ۹۹ با ۳/۳ برابر افزایش) تعلق داشتند (جدول ۱). EF2 یک فاکتور وابسته به کلروپلاست بوده، که افزایش بیان آن در آزمایش حاضر نشان‌دهنده این است که دستگاه ترجمه‌ای پلاستید در طی مراحل اولیه جوانه‌زنی فعال شده تا سیستم فتوسنتری به کمک ژن‌های واقع در پلاستید ساخته شود (گلاردو و همکاران ۲۰۰۱). افزایش ژن‌های وابسته به آبنوشی بذر مانند فاکتورهای رونویسی و کوفاکتورهای ترجمه در کلزا نیز گزارش شده است (گروت و همکاران ۲۰۰۲).

اسکلت سلولی مهمترین اندامک پایه‌ای درون سلولی بوده که دارای نقشی کلیدی در حیات پروکاریوتها می‌باشد. اسکلت سلولی به عنوان محل اصلی فعالیت‌های سلولی درگیر در واکنش به محرك‌های محیطی (نظیر نقل و انتقالات پروتئین‌ها، تغییرات در فعالیت پروتئین کینازها، فسفاتازها که ممکن است وابسته و یا مستقل از Ca²⁺ باشد) مد نظر قرار گیرد (اوروار و همکاران ۲۰۰۰). بذرهای در حال جوانه‌زنی به تیوبولین برای ساختن میکروتوبولها نیاز دارند که در فرایندهای تقسیم سلولی، بزرگ شدن سلولی، جدایی کروموزومها و سیتوکینیز^۲ نقش دارد. افزایش بیان پروتئین تیوبولین (لکه ۲۱۳ با ۱/۵ برابر افزایش) در آزمایش حاضر شاهدی بر این ادعا است. یکی دیگر از پروتئین‌های دخیل در فرایند فوق اکتین می‌باشد. اکتین در طی جوانه‌زنی بذر افزایش یافته و پس از جوانه‌زنی در همان حالت باقی می‌ماند، این مولکول نیز بخشی از اسکلت سلولی بوده که نه تنها در بزرگ شدن سلول نقش دارد بلکه در سلول‌هایی که به لحاظ متابولیکی فعال هستند در ارتباط سلول به سلول ایفای نقش می‌نماید (فاریا و همکاران ۲۰۰۷). بر خلاف آنچه انتظار می‌رفت بیان این پروتئین (لکه ۲۸۶ در آزمایش حاضر نه تنها در طی جوانه‌زنی افزایش

1. Elongation factor

2. cytokinesis

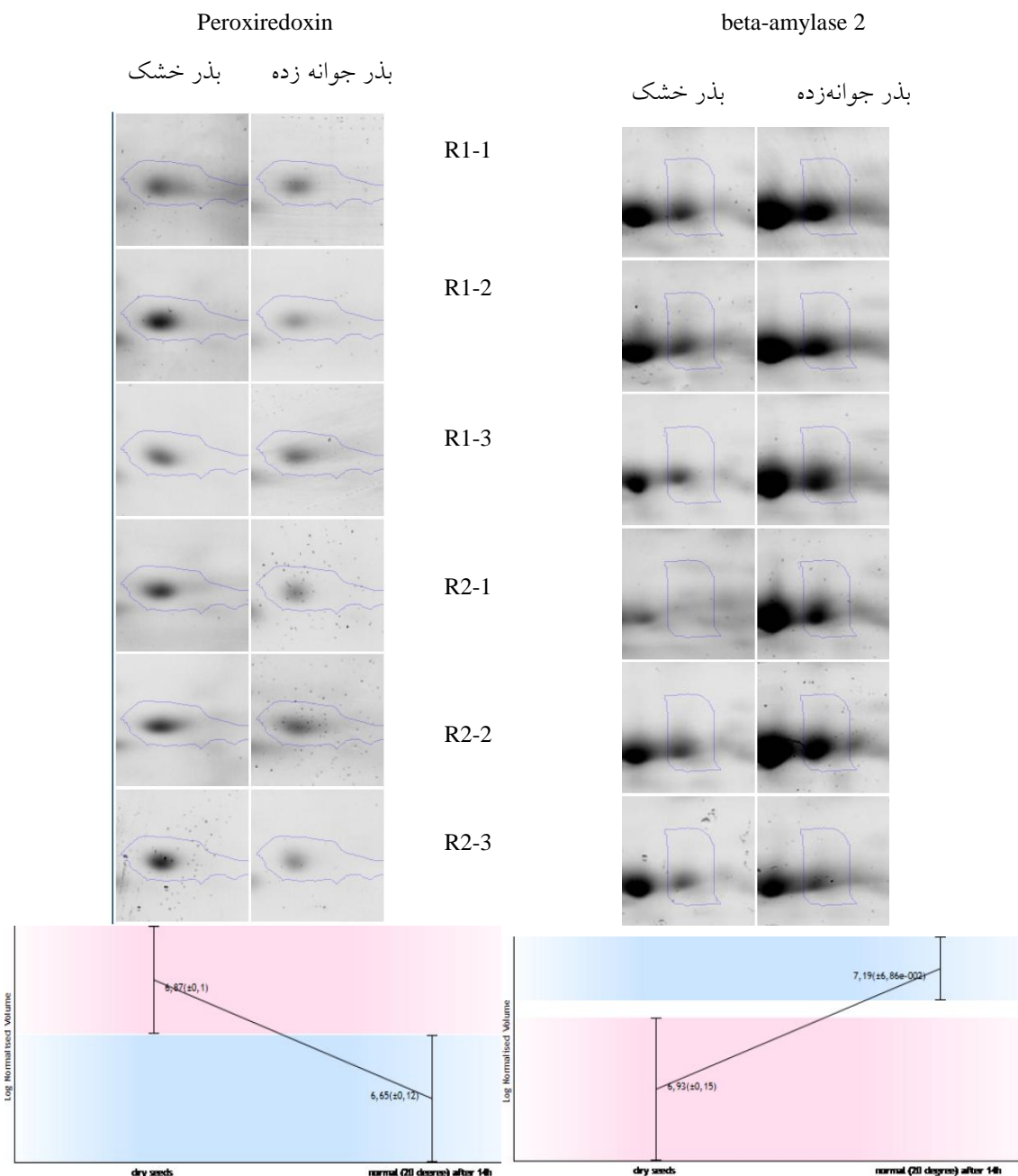
نشاسته تبدیل می‌شود. نرخ تبدیل ساکارز به نشاسته در بذرهای درحال جوانه‌زنی تا ۵۰ درصد نیز گزارش شده است (مورفی و هامر ۱۹۹۴).

و هامر ۱۹۹۴). آنها چنین اظهار داشتند که در طی فرایند جوانه‌زنی لیپیدهای ذخیره‌ای طی فرایند اکسیداسیون بتای اسیدهای چرب به ساکارز تبدیل شده که ساکارز خود نیز توسط آنزیم سنتز کننده نشاسته به

جدول ۱- پلی پپتیدهای که فراوانی آنها به میزان معنی دار در مقایسه بذرهای جوانه زده در شرایط بهینه (دما^۰ C و ۲۰۰ پتانسیل آبی صفربار) با بذرهای خشک متفاوت بود.

| pI | وزن مولکولی (کیلو Dalton) | شماره اکشن ^۲ | سطح معنی-داری | میزان تغییرات | نام پروتئین | شماره لکه بر روی ژل بعد دوم | | |
|------|---------------------------|-------------------------|---------------|------------------------------------|-------------|-----------------------------------|--------------------------------------------------------------------------|-----|
| 5.2 | 6.51 | 140 | 87.0 | gi 259130271 | 0.01 | 1.7 | high molecular weight glutenin [Thinopyrum ponticum x Triticum aestivum] | 23 |
| 5.35 | 6.51 | 140 | 87.0 | gi 259130271 | 0.01 | 1.5 | high molecular weight glutenin [Thinopyrum ponticum x Triticum aestivum] | 26 |
| 5.45 | - | 140 | - | - | 0.005 | 1.7 | NI | 36 |
| 6.8 | - | 140 | - | - | 0.05 | 2.2 | NI | 43 |
| 6.4 | - | 125 | - | - | 0.025 | 1.7 | NI | 66 |
| 6.5 | - | 128 | - | - | 0.017 | 1.5 | NI | 68 |
| 6.2 | 5.82 | 108 | 102.5 | gi 186478394 | 5.01E-04 | 2.3 | transcription factor [Arabidopsis thaliana] | 74 |
| 6.05 | - | 103 | - | - | 0.031 | 1.5 | NI | 77 |
| 5.25 | - | 125 | - | - | 0.037 | 1.5 | NI | 80 |
| 6 | 6.15 | 109 | 88.7 | gi 170743 | 0.01 | 2.1 | HMW glutenin [Triticum aestivum] | 95 |
| 6.6 | 6.34 | 109 | 109.4 | TC246839 | 0.005 | 3.3 | Elongation factor EF-2 | 99 |
| 6.45 | 8.69 | 125 | 15.4 | gi 32328645 | 0.035 | 1.7 | high-molecular-weight glutenin subunit [Triticum aestivum] | 100 |
| 6.4 | 6.20 | 100 | 93.7 | gi 1196837 | 0.012 | 2.7 | sucrose synthase 3 [Oryza sativa] | 109 |
| 6.65 | 6.88 | 100 | 70.9 | gi 13992211 | 0.008 | 2.1 | glutenin HMW subunit 1Dy [Aegilops cylindrica] | 113 |
| 6.7 | 6.91 | 80 | 64.4 | gi 67975067 | 0.023 | 2.1 | high molecular weight glutenin [Lophopyrum elongatum] | 128 |
| 5.45 | 6.09 | 78.5 | 80.3 | gi 255957523 | 0.024 | 1.5 | high molecular weight glutenin [Triticum aestivum] | 131 |
| 5.4 | 5.60 | 59 | 59.6 | gi 17736918 | 0.001 | 1.7 | granule bound starch synthase I [Triticum aestivum] | 171 |
| 5.6 | 9.14 | 60 | 56.1 | TC239297 | 4.80E-05 | 1.8 | Granule-bound starch synthase | 173 |
| 6.7 | 9.14 | 56.5 | 56.1 | - | 9.40E-04 | 1.5 | Granule-bound starch synthase | 175 |
| 5.3 | 5.34 | 55.5 | 57.4 | gi 61006818 | 8.60E-04 | 1.8 | beta-amylase 2 [Hordeum vulgare] | 189 |
| 5.3 | 5.65 | 57.5 | 57.9 | gi 38349539 | 0.001 | 1.5 | beta-amylase 1 [Hordeum vulgare] | 192 |
| 5.3 | 5.24 | 56 | 56.9 | gi 3334120 | 9.20E-04 | 1.5 | Beta-amylase | 194 |
| 5.2 | 5.24 | 56 | 56.9 | gi 3334120 | 0.007 | 1.6 | Beta-amylase | 201 |
| 6 | 5.95 | 55 | 58.6 | TC251262 | 0.034 | 1.5 | disulfide isomerase [Arabidopsis thaliana] | 206 |
| 5.15 | 4.88 | 49.5 | 50.4 | gi 8928422 | 0.004 | 1.5 | Tubulin alpha-2 chain | 213 |
| 6.25 | 5.60 | 43.5 | 43.3 | gi 75282265 | 0.006 | 1.5 | Serpin | 236 |
| 5.58 | 5.44 | 30 | 43.3 | gi 224589266 | 0.016 | 1.5 | serpin 1 [Triticum aestivum] | 237 |
| 6.05 | 5.56 | 40 | 39.8 | ACT12_SOL _{TU} | 0.001 | -2 | Actin-100 – [Solanum tuberosum] | 286 |
| 5.45 | 5.74 | 39 | 39.9 | gi 29788864 | 6.20E-05 | -3.9 | putative cell wall invertase [Oryza sativa] | 290 |
| 5.25 | - | 33 | - | - | 4.30E-04 | -2.5 | NI | 341 |
| 6.05 | 6.31 | 30 | 24.2 | gi 1710077 | 0.024 | -1.5 | 1-Cys peroxiredoxin | 352 |
| 6.65 | 6.31 | 28.5 | 24.2 | gi 190684059 | 0.002 | -1.7 | peroxiredoxin [Triticum aestivum] | 363 |
| 5.8 | 5.82 | 21 | 17.8 | gi 242041463 | 0.017 | -1.7 | 17.4 kDa class I heat shock protein 3 [Sorghum bicolor] | 405 |
| 5.45 | 5.21 | 20.5 | 17.4 | gi 15231372 | 0.027 | -1.5 | ATHSP17.4 [Arabidopsis thaliana] | 406 |
| 6.3 | 6.41 | 20 | 21.5 | TC234994 | 0.012 | -1.6 | heat shock protein 16.9. [Triticum aestivum] | 407 |
| 5.78 | 5.83 | 20 | 16.9 | gi 123545 | 0.002 | -2.4 | Heat shock protein 17 | 414 |
| 5.25 | 5.21 | 18 | 17.4 | HSP11 _{ARA} _{TH} | 2.30E-04 | -1.9 | 17.4 kDa heat shock protein - Arabidopsis thaliana | 417 |
| 5.85 | - | 18 | - | - | 0.018 | -1.5 | NI | 427 |

*در ستون میزان تغییرات، اعداد بدون علامت و با علامت منفی (-) به ترتیب نمایانگر مقدار افزایش و یا کاهش حجم لکه‌ها هستند. NI: شناسایی نشده (Not Identified). ۲. شماره اکشن (Accession number) در بانک‌های اطلاعاتی NCBI, TIGR, SWISS-Prot و یا-NCBI. ۳. نقطه ایزوکتریک (Isoelectric Point) یا pH هر لکه بر روی ژل



شکل ۳: نمونه‌ای از تنظیم افزایشی (لکه ۱۹۴-آمیلаз؛ سمت راست) و کاهشی (لکه ۳۶۳ پروکسی ریدوکسین؛ سمت چپ) لکه‌ها در مقایسه تیمار بذر جوانه‌زده با بذر خشک در شرایط بهینه.

بود. در این شرایط پروتئین‌های ذخیره‌های جدیدی مانند گلوبولین (لکه ۱۴۰)، اونین^۱ (لکه ۲۶۹) نیز افزایش بیان

با مقایسه الگوی پروتئینی بذرهای جوانه‌زده در شرایط بهینه و تنش خشکی مشاهده شد که دامنه پروتئین‌های تغییریافته در بذرهای جوانه‌زده در شرایط تنش خشکی بیش از بذرهای جوانه‌زده در شرایط بهینه

1. Avenin

انتهای ریبوزوم کاتالیز می‌کند. افزایش بیان این پروتئین در طی جوانهزنی بذر و در گیاهانی مانند ذرت و کلزا نیز گزارش شده است (سوئدآ و همکاران ۲۰۰۵، کولیپارا و همکاران ۲۰۰۹). فعالیت فاکتور طویل شدن ترجمه به همراه پروتئین‌های فاکتورهای آغازگر ترجمه به ATP synthase F0 subunit 1 است. افزایش فعالیت ATP synthase F0 با ۱/۷ برابر افزایش) را نیز می‌توان بر این اساس توجیه نمود (جدول ۲). این بدین معنی است که در این شرایط نیاز به انرژی نیز افزایش پیدا می‌کند. پروتئین ATP-سینتاز در غشاء میتوکنیدی فعال بوده و با استفاده از شبکه پروتئینی حاصل از شکست پیروات در چرخه کربس نوکلئوتید ADP را با Pilin ترکیب نموده ATP تولید می‌کند. افزایش همزمان فعالیت پروتئین‌های فاکتور طویل شدن ترجمه و -ATP سینتاز در برنج نیز گزارش شده است (کوئی و همکاران ۲۰۰۵).

از میان پروتئین‌های با بیان متفاوت در بذر خشک و بذر جوانهزده، در بذر جوانهزده یک ایزوفرم اکتین (لکه ۱/۵) برابر نسبت به بذر خشک افزایش و دیگری (لکه ۱/۵) برابر کاهش یافت. اکتین جزء اساسی اسکلت سلولی بوده و در تعدادی از فرایندهای سلولی مانند جریانات سیتوپلاسمی، تقسیم سلول، طویل شدن سلول، رشد انتهایی و ایجاد قطبیت سلولی نقش دارد (کاست گیلیاند و همکاران ۲۰۰۳). از آنجا که تک واحدهای^۱ اکتین می‌توانند به صورت خودبه‌خودی با هم جفت شوند، لذا تعادل میان تکواحدها و چندواحدهای^۲ این پروتئین ممکن است توسط عوامل محیطی تحت تأثیر قرار گیرد که به صورت افزایش یا کاهش بیان یک ایزوفرم خاص تظاهر پیدا می‌کند. ویلانوا و همکاران (۱۹۹۹) با مطالعه mRNA ایزوفرم‌های مختلف اکتین مشاهده نمودند که یک ایزوفرم در طی ۴۸ ساعت پس از جوانهزنی افزایش و سپس کاهش یافت. این در حالی است که ایزوفرم دیگری تا ۷۲ ساعت پس از شروع جوانهزنی فعال و سپس کاهش یافت. به هر حال بیان متفاوت ایزوفرم‌های مطالعه شده در آزمایش

نشان دادند. گلوبولین‌ها نیز از دیگر پروتئین ذخیره‌ای جنین غلات هستند، اما درصد کمی از پروتئین کل بذر (۵-۱۰ درصد) را به خود نسبت می‌دهند. همانند گلوتنین، اونین و گلوبولین نیز در طی رسیدگی و بلوغ بذر بر روی پایه مادری تولید شده و سپس در طی فرایند جوانهزنی شکسته شده و توسط گیاهچه در حال سبزشدن به عنوان منبع غذایی اولیه استفاده می‌شود (شروعی و هالفورد ۲۰۰۲).

اگرچه در جوانهزنی در شرایط تنفس خشکی نیز همانند جوانهزنی در شرایط بهینه بیان برخی از پروتئین‌های شوک حرارتی hSHPs (لکه‌های ۳۸۱، ۴۰۵، ۴۱۷، ۴۲۱، ۴۱۴، ۴۰۷ دارای وزن‌های مولکولی ۱۶/۹ تا ۲۷ کیلو Dalton) و پروکسی‌ریدوکسین (لکه ۳۵۲ وزن مولکولی ۳۰ کیلو Dalton) کاهش یافت (جدول ۲)، ولی در این میان مشاهده شد حجم لکه‌های ۸۷ (پروتئین شوک گرمایی ۱۰۱)، ۴۰۷ (پروتئین شوک گرمایی ۱۶/۹) و ۱۹۷ (پروتئین تیوریدوکسین پراکسیداز با ۱/۷ برابر افزایش) متعلق به این دو پروتئین با جوانهزنی بذر در شرایط تنفس خشکی افزایش یافت. به نظر می‌رسد فرم‌های مختلف پروتئین شوک گرمایی ممکن است دارای نقش‌های متفاوتی نیز باشند (کوئیچ و همکاران ۲۰۰۰). این بدین معنی است که نقش حفاظتی پروتئین‌های دخیل در تحمل به خشکی در بذر نه تنها در طی رسیدگی بذر دارای اهمیت است بلکه در طول دوره جوانهزنی در شرایط تنفس خشکی نیز نقش مهمی بازی می‌کنند. هانگ و ویرلینگ (۲۰۰۰) به نقش پروتئین شوک گرمایی ۱۰۱ در جوانهزنی بذر آرابیدوپسیس در شرایط تنفس گرمایی پی برده و مشاهده نمودند که بیان Antisense این پروتئین منجر به کاهش تحمل به تنفس گرمایی در مرحله جوانهزنی این گیاه شد.

فاکتور طویل شدن ترجمه، (لکه ۲۱۶ با ۱/۷ برابر افزایش) پروتئین دیگری بود که با جوانهزنی بذر در شرایط تنفس خشکی افزایش یافت. همان طور که از نام این پروتئین نیز پیداست، این فاکتور متشکل از مجموعه‌ای از پروتئین‌ها بوده که طویل شدن زنجیره پلی‌پپتیدی در طی فرایند ترجمه را تسهیل می‌نمایند. این پروتئین‌ها انتقال tRNA و mRNA را به سمت

1. Monomer
2. Polymer

بذر تجمع می‌یابد و نقش مهمی در تحمل به خشک-شدن بذر دارد. افزایش بیان این پروتئین در افزایش تحمل به خشکی، شوری و سرما نیز گزارش شده است (بنساگر ۲۰۰۷). پروتئین بازدارنده آلفا-آمیلاز (لکه‌های ۴۷۶ و ۵۶۳ به ترتیب با ۱/۵ و ۱/۷ برابر کاهش) نیز یکی دیگر از پروتئین‌هایی بود که در بذر خشک بیشتر از بذر جوانه‌زده بود. این پروتئین در طی دوره پرشدن دانه افزایش یافته و بذر را از صدمه حشرات حفظ نموده و در طی فرایند جوانه‌زنی بذر کاهش می‌یابد (فینی و همکاران ۲۰۰۴).

تنش دمای پایین

بررسی لکه‌های با بیشترین تغییرات افزایشی در طی مقایسه بذر جوانه‌زده در شرایط دمای پایین با بذر خشک نشان داد که زیرواحدهای مختلف گلوتنین (لکه‌های ۲۳، ۲۶، ۴۳، ۴۴، ۵۳، ۵۷، ۶۵، ۱۱۳، ۱۳۰، ۱۴۹) و آنزیم بتا-آمیلاز (لکه‌های ۱۶۲، ۱۷۹ و ۲۱۲) بیشترین سهم را در لکه‌های افزایش یافته به خود نسبت دادند. در این میان لکه‌های ۴۳ (شناسایی نشده با ۳/۳ برابر افزایش)، ۷۴ (فاکتور رونویسی با ۳/۲ برابر افزایش) و ۱۱۳ (گلوتنین با ۳/۱ برابر افزایش) بیشترین افزایش را به خود نسبت دادند (جدول ۳). افزایش فعالیت آنزیم‌های سنتز نشاسته در شرایط دمای پایین در گیاهان دیگری مانند کلزا (پستوا و همکاران ۲۰۰۸) نیز گزارش شده است.

از میان پروتئین‌های افزایش یافته آنزیم‌های پیروات دکربوکسیلاز (لکه ۱۵۵ پیروات دکربوکسیلاز با ۱/۹ برابر افزایش)، فسفونول پیروات سینتاز (لکه ۱۶۰ با ۲/۴ برابر افزایش) و انولاز (لکه ۲۱۰ با ۱/۸ برابر افزایش) در چرخه‌های گلوکوژن، گلیکولیز و تنفس غیرهوایی فعال هستند. این پروتئین‌ها به همراه آنزیم‌های متابولیسم نشاسته مانند بتا-آمیلاز می‌توانند مسیر تنفسی بذر در حال جوانه‌زنی را از مسیر هوایی^۳ به غیرهوایی^۴ تغییر دهند. در شرایطی که میزان اکسیژن در دسترس محدود است تنفس میتوکندریایی محدود شده و نسخه برداری ژن‌ها به سمت تولید آنزیم‌های متابولیسم کربوهیدرات‌ها

حاضر ممکن است ناشی از تفاوت در زمان بیان آنها و نیز تفاوت در نقش آنها در واکنش به تنش خشکی باشد. از طرفی، غشاء سلولی به عنوان جایگاه اولیه برای دریافت سیگنال مرتبط با محرك‌های محیطی مانند خشکی و سرما است. با تغییرات سیالیت غشاء و برهم خوردگی نظم و بازارایی^۱ میکروتیوبول‌ها و میکروفیلامنت‌های اکتینی جریان ورودی کلسیم به درون سلول تحریک می‌شود و آبشار سیگنال‌دهی مرتبط با کلسیم فعال می‌شود. در چنین شرایطی تغییرات اکتین به عنوان واسطه برای انتقال سیگنال بیرونی به درون سلول و ارتباط دادن آن با مسیر کلسیم وابسته است (اوروار و همکاران ۲۰۰۰). تغییر در بیان اکتین به واسطه محرك‌های بیرونی (مانند تنش سرما و خشکی) و تیمارهای هورمونی در آربیدوپسیس و برنج گزارش شده است (گیلیاند و همکاران ۲۰۰۳، لی و همکاران ۲۰۰۸). در راستای چنین تفسیری افزایش بیان پروتئین کیاز وابسته به کلسیم (لکه ۲۰۴ با ۲/۱ برابر افزایش) در بذر جوانه‌زده در مقایسه با بذر خشک را نیز می‌توان توجیه نمود (جدول ۴).

پروتئین گلیسرآلدهید ۳-فسفات دهیدروژناز (GADPH) پروتئین دیگری بود که بیان آن در طی جوانه‌زنی بذر در شرایط تنش خشکی کاهش یافت (جدول ۲). این پروتئین نیز یکی از پروتئین‌های دارای نقش حفاظتی بوده که در طی فرایند خشک شدن بذر درون بذر تجمع نموده و سپس در طی جوانه‌زنی کاهش می‌یابند. GADPH در شرایط تنش خشکی و کم اکسیژنی نیز در بذر در حال جوانه‌زنی تجمع می‌یابد. نقش عمده این آنزیم در شرایط کم اکسیژنی کاتالیزکردن واکنش‌های گلیکولیز و گلوکوژن است. این پروتئین به علاوه ممکن است در مسیر پیامرسانی^۲ ROS نیز ایفای نقش نماید. (لاینو و همکاران ۲۰۱۰). در میان پروتئین‌هایی که در طی جوانه‌زنی کاهش یافتند گلی اکسالاز I (لکه ۲۹۸) نیز مشاهده شد. این آنزیم در سمیت‌زادی^۳ methylgloxal، یکی از فرآوردهای جانبی گلیکولیز نقش دارد. این آنزیم در طول دوره رسیدگی

3. Aerobic
4. Anaerobic

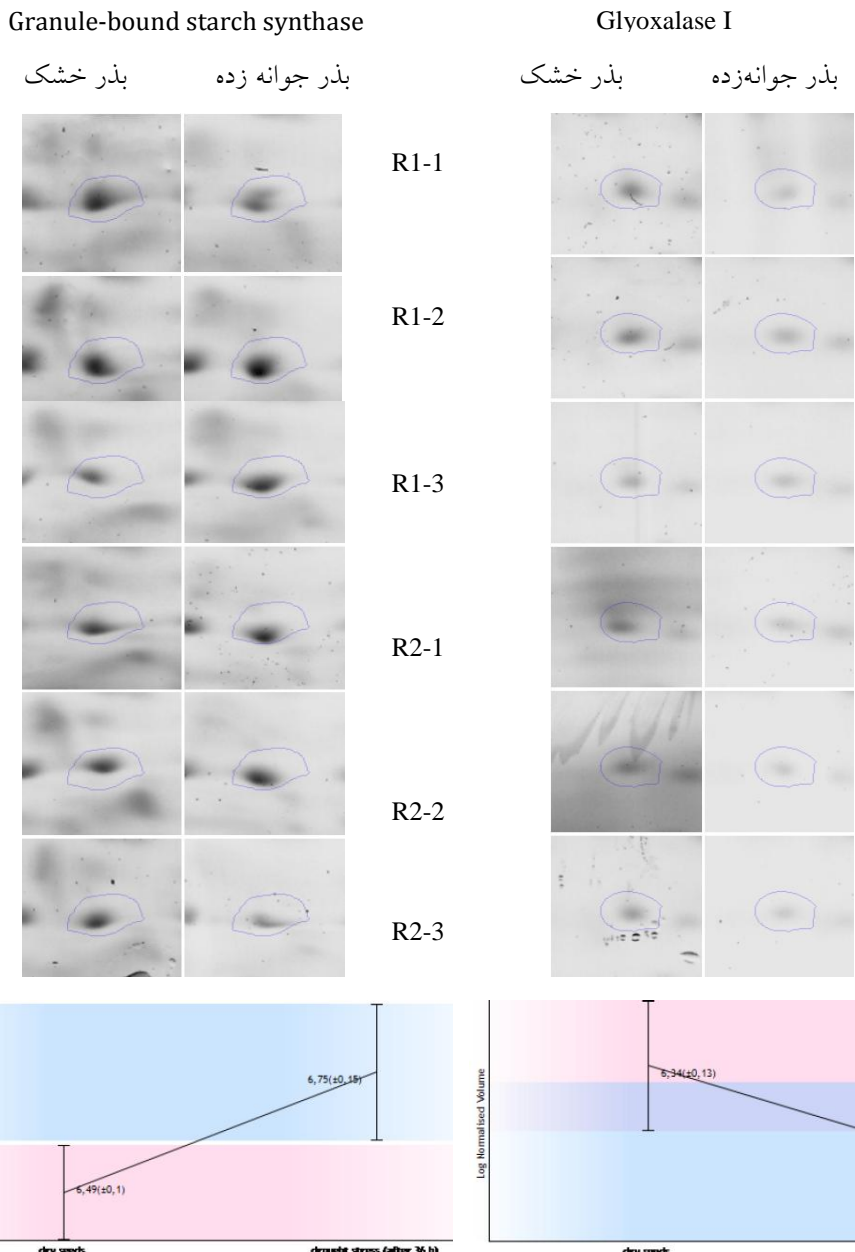
1. Rearrangment
2. Signalling

و تخمیر الکلی مانند ساکارز سینتاز، الکل دهیدروژناز و لاکتات دهیدروژناز پیش می‌رود (مگنی و پراتا ۲۰۰۹).

جدول ۲- پلی پپتیدهای که فراوانی آنها به میزان معنی دار در مقایسه بذرهای جوانه زده در شرایط بهینه (دما^۰ و پتانسیل آبی-۶-بار) با بذرهای خشک متفاوت بود.

| pI | آزمایشی | تغوری | آزمایشی | تغوری | وزن مولکولی (کیلو Dalton) | شماره اکشن ^۲ | - سطح معنی داری | میزان تغییرات | نام پروتئین | شماره لکه بر روی ژل بعد دوم |
|------|---------|-------|---------|-------|---------------------------|-------------------------|-----------------|-----------------------------------------------------------------------------------|----------------------------------------------------------------------------------------|-----------------------------|
| 6.5 | | 128 | | | | | 0.005 | 2.3 | NI | 68 |
| 6.7 | | 109 | | | | | 0.01 | 2.6 | NI | 79 |
| 6.4 | 6.53 | 115 | 113 | | TC267698 | | 0.004 | 2.6 | Heat shock protein 101, complete high molecular weight glutenin [Lophopyrum elongatum] | 87 |
| 6.7 | 6.91 | 80 | 64 | | gi 67975067 | | 0.017 | 2.2 | | 128 |
| 5.45 | 6.09 | 78.5 | 80 | | gi 255957523 | 9.20E-04 | 1.6 | high molecular weight glutenin [Triticum aestivum] globulin 3 [Triticum aestivum] | | 131 |
| 6.7 | 7.78 | 70 | 66 | | gi 215398470 | 0.011 | 2.9 | | | 140 |
| 5.4 | 5.60 | 59 | 59 | | gi 17736918 | 0.03 | 1.5 | granule bound starch synthase I [Triticum aestivum] | | 171 |
| 5.5 | 7.86 | 58 | 63 | | gi 4588607 | 0.027 | 1.6 | granule-bound starch synthase [Triticum aestivum] | | 172 |
| 5.6 | 9.14 | 60 | 56 | | TC239297 | 0.004 | 1.7 | Granule-bound starch synthase | | 173 |
| 6.7 | 9.14 | 56.5 | 56 | | | | 0.001 | 1.8 | Granule-bound starch synthase | 175 |
| 5.9 | 5.85 | 55.5 | 55 | | gi 89280711 | 0.007 | 1.7 | ATP synthase F0 subunit 1 [Oryza sativa] | | 181 |
| 5.4 | 5.73 | 55 | 56 | | gi 6729696 | 0.04 | 1.6 | Beta-Amylase | | 182 |
| 6.55 | | 49 | | | | | 0.04 | 1.8 | NI | 186 |
| 5.3 | 5.34 | 55.5 | 57 | | gi 61006818 | 0.01 | 1.7 | beta-amylase 2 [Hordeum vulgare] | | 189 |
| 6.5 | 8.19 | 53 | 53 | | gi 84181091 | 0.002 | 2 | high molecular weight gluten subunit | | 191 |
| 5.3 | 5.65 | 57.5 | 57 | | gi 38349539 | 0.04 | 1.5 | beta-amylase 1 [Hordeum vulgare] | | 192 |
| 5.3 | 5.24 | 56 | 56 | | gi 3334120 | 0.002 | 1.6 | Beta-amylase | | 194 |
| 6.65 | 6.15 | 49 | 23 | | Q7F8S5_ORYSA | 0.001 | 1.7 | Putative thioredoxin peroxidase [Oryza sativa] | | 197 |
| 5.2 | 5.24 | 56 | 56 | | gi 3334120 | 0.01 | 1.7 | Beta-amylase | | 201 |
| 6.73 | 6.76 | 55.5 | 61144 | | gi 297813857 | 0.007 | 2.1 | calcium-dependent protein kinase 23 [Arabidopsis lyrata] | | 204 |
| 5.45 | 5.54 | 53 | 68520 | | TC249903 | 0.005 | 1.8 | Beta-amylase precursor | | 212 |
| 6.55 | 6.08 | 49 | 47 | | gi 242096224 | 0.03 | 1.6 | eukaryotic translation elongation factor-1 (EF1) [Sorghum bicolor] | | 216 |
| 6.7 | | 44 | | | | 0.003 | 1.7 | NI | | 221 |
| 6.35 | 6.41 | 45.7 | 46 | | gi 300681441 | 0.016 | 2.2 | acyl-desaturase [Triticum aestivum] | | 234 |
| 6.25 | 5.44 | 44 | 43 | | gi 224589266 | 1.40E-02 | 2.1 | serpin 1 [Triticum aestivum] | | 235 |
| 5.85 | 5.60 | 43.5 | 43 | | gi 75282265 | 0.01 | 1.5 | Serpin-Z1A [Triticum aestivum] | | 241 |
| 5.4 | 5.31 | 43.5 | 41 | | gi 255636850 | 0.03 | 1.6 | actin | | 242 |
| 5.7 | | 43 | | | | 0.01 | 1.6 | NI | | 249 |
| 5.8 | | 38 | | | | 0.003 | 2.1 | NI | | 251 |
| 6.8 | 8.29 | 40 | 33 | | gi 145321072 | 3.20E-05 | -1.9 | avenin-like protein [Triticum aestivum] | | 269 |
| 6.6 | | 39 | | | | 0.002 | 2.1 | NI | | 277 |
| 6.05 | 5.56 | 40 | 39 | | ACT12_SOLTU | 0.03 | -1.5 | Actin-100 - [Solanum tuberosum] | | 286 |
| 5.3 | 5.51 | 38 | 32 | | gi 16580747 | 0.01 | -1.6 | glyoxalase I [Oryza sativa] | | 298 |
| 5.25 | | 33 | | | | 0.001 | -4.2 | NI | | 341 |
| 6.05 | 6.31 | 30 | 24 | | gi 1710077 | 6.40E-04 | -4.8 | 1-Cys peroxiredoxin | | 352 |
| 6.1 | 6.06 | 24.25 | 23 | | gi 283480515 | 0.006 | -1.8 | Tri a Bd 27K [Triticum aestivum] | | 381 |
| 5.8 | 5.82 | 21 | 17 | | gi 242041463 | 0.003 | -3 | 17.4 kDa class I heat shock protein 3 [Sorghum bicolor] | | 405 |
| 6.3 | 6.41 | 20 | 21 | | TC234994 | 0.032 | 2 | heat shock protein 16.9. [Triticum aestivum] | | 407 |
| 5.78 | 5.83 | 20 | 16 | | gi 123545 | 3.20E-04 | -4.8 | Heat shock protein 17 | | 414 |
| 5.25 | 5.21 | 18 | 17 | | HSP11_ARATH | 0.007 | -1.6 | 17.4 kDa class I heat shock protein [Arabidopsis thaliana] | | 417 |
| 6.35 | | 18 | | | | 0.018 | -1.7 | NI | | 418 |
| 5.9 | 5.58 | 17.5 | 17592 | | gi 147225042 | 0.036 | -1.9 | 17.5kDa heat-shock protein [Aegilops longissima] | | 421 |
| 5.85 | | 18 | | | | 0.002 | -2.2 | NI | | 427 |
| 6.35 | 7.44 | 18 | 18.8 | | gi 123957 | 0.006 | 1.6 | Alpha-amylase/trypsin inhibitor dimeric alpha-amylase inhibitor | | 435 |
| 5.35 | 5.25 | 13.9 | 13 | | gi 114215910 | 0.024 | -1.5 | [Aegilops sharonensis] | | 476 |
| 5.95 | 5.80 | 10.5 | 12 | | gi 125658315 | 0.015 | -3.1 | glyceraldehyde 3-phosphate dehydrogenase [Ficus fistulosa] | | 482 |
| 6.18 | 6.49 | 13 | 13 | | gi 114215822 | 0.017 | -1.8 | dimeric alpha-amylase inhibitor | | 563 |

*در ستون میزان تغییرات، اعداد بدون علامت و با علامت منفی (-) به ترتیب نمایانگر نسبت افزایش و یا کاهش حجم لکه‌ها هستند. NI: شناسایی نشده (Not Identified). ۲. شماره اکشن (Accession number) در بانک‌های اطلاعاتی TIGR, NCBI و یا SWISSProt نقطه ایزوالکتریک (Isoelectric Point) یا pH هر لکه بر روی ژل



شکل ۴- نمونه‌ای از تنظیم افزایشی (لکه ۱۷۵ پروتئین سنتز کننده نشاسته؛ سمت چپ) و تنظیم کاهشی (لکه ۲۹۸ گلی‌اکسالاز؛ سمت راست) لکه‌ها در مقایسه بذر جوانه‌زده با بذر خشک در شرایط تنش خشکی (دماي ۲۰°C و پتانسیل آبی ۶-بار).

نسبتاً غیرهوازی^۳ که قبل از خروج ریشه‌چه در بذر وجود دارد پیروات عمدهاً به اتانول و استالدھید تبدیل می‌شود. در این شرایط و با تغییر مسیر تنفسی به مسیر گلیکولیز، سلول کمبود ATP ناشی از کمبود دسترسی

چنین وضعیتی در طی مراحل اولیه جوانه‌زنی بذر نیز مشاهده می‌شود. بسته به گونه گیاهی به نظر می‌رسد که در طی چند ساعت تا چند روز اولیه پس از شروع آبنوشی^۱ بذر، مسیر تنفسی عمده گلیکولیز بوده که محصولات آن پیروات و ATP می‌باشد. در شرایط

پلی‌آمین‌ها (مانند اسپرمیدین، اسپرمین و بیوتین) می‌باشد. پلی‌آمین‌ها در تقسیم سلولی و مراحل اولیه جوانه‌زنی بذر نقش فعالی بازی می‌کنند (گالاردو و همکاران ۲۰۰۲). بهر حال از آنجایی که هورمون اتیلن در جوانه‌زنی بذر بهویژه در شرایط کم اکسیژنی نقش فعالی دارد (مگنشی و پراتا ۲۰۰۹). افزایش فعالیت متیونین سینتاز به همراه آنزیم‌های چرخه گلیکولیز و نیز فعالیت کمپلکس سنتز کننده ATP (لکه ۱۸۰) می‌توانند شاهدی احتمالی بر وقوع شرایط کم اکسیژنی در طی جوانه‌زنی در شرایط دمای پایین باشد گالاردو و همکاران (۲۰۰۱) فقدان آنزیم متیونین سینتاز در بذر خشک را با توانایی بذر در جهت حفظ سطح متابولیکی پایین در بذر در حال سکون مرتبط می‌داند.

پروتئین ATP آاز و اکوئلی (v-type ATPase) پروتئین دیگری (لکه ۱۴۴ با ۱/۷ برابر افزایش) بود که با جوانه‌زنی بذر در شرایط تنش دمای پایین فعال شد (جدول ۳). وجود این پروتئین جهت رشد و نمو گیاه در شرایط تنش و غیر تنش ضروری است. این پروتئین یک پمپ الکتروژنیک بوده که از طریق هیدرولیز ATP منجر به تجمع پروتون (H^+) درون واکوئل می‌شود. شبیب به دست آمده از طریق تجمع H^+ درون واکوئل تولید نیروی محرك پروتونی^۱ (PMF) نموده که این نیرو نیز آنتی-پورترهای غشاء تونوپلاست را فعال می‌نماید. با فعال شدن این آنتیپورترها انتقال فعال ثانویه تحریک می‌شود. فعال شدن این آنتیپورترها منجر به تجمع محلول‌هایی مانند ساکارز، رافینوز و استاکیوز در درون واکوئل می‌شود (دایتر و همکاران ۲۰۰۱). مشاهده شده که PMF ایجاد شده توسط این پمپ می‌تواند از طریق کده‌بندی^۲ صحیح محلول‌ها منجر به افزایش تحمل به تنش سرمایی شود. در آزمایش حاضر افزایش فعالیت ATP سینتاز (لکه ۱۸۰) به همراه آنزیم‌های متابولیسم ساکارز و نشاسته در شرایط تنش سرمایی می‌توانند در جهت تأمین ATP مورد نیاز برای پمپ ATP آاز و اکوئلی باشند. پروتئین دی-سولفید ایزومراز^۳ (PDI) پروتئین

به اکسیژن را توسط تغییر مسیر تنفس به تنفس غیرهوایی تا حدودی جبران می‌کند (بیولی و بلک ۱۹۹۴). در راستای نتایج این آزمایش پستوا و همکاران (۲۰۰۸) افزایش فعالیت آنزیم‌های چرخه گلیکولیز، گلوکوزن و آنزیم‌های دخیل در تنفس غیرهوایی را در بذر چغندر قند جوانه‌زده در شرایط دمای پایین گزارش نمودند. لی و همکاران (۲۰۰۸) نیز مشاهده نمودند که بروز تنش دمای پایین در برج منجر به افزایش بیان ژن‌های دخیل در فعالیت آنزیم‌هایی گلیکولیزی بهویژه انولاز گردید، آنها چنین اظهار نمودند که می‌توان از فعالیت این آنزیم به عنوان نشانگر-بیولوژیکی واکنش به تنش دمای پایین استفاده نمود. فسفوanol پیروات کربوکسیلاز (لکه‌های ۵۴ و ۵۵۱ با ۱/۷ و ۱/۹ برابر افزایش) پروتئین دیگری بوده که بیان آن در شرایط دمای پایین افزایش یافت. این آنزیم واکنش فسفوanol پیروات را HCO_3^- کاتالیز نموده و اگزوالاستات تولید می‌کند. این آنزیم اغلب در بافت‌های فتوسنتری گیاهان C_4 و CAM فعال است. گزارش شده است که این آنزیم دارای نقش آناپلروتیک بوده و در شرایطی که تقاضا برای اسکلت کربنی جهت سنتز اسیدهای آمینه زیاد است، این آنزیم با تولید اگزوالاستات و تحويل آن به چرخه اسید سیتریک تا حدودی این نیاز را تأمین می‌نماید. افزایش بیان این پروتئین در سپرچه و آندوسپرم بذرهای در حال جوانه‌زنی گندم در طی ۲۴ تا ۹۶ ساعت پس از شروع جوانه‌زنی نیز گزارش شده است (گنزالس و همکاران ۱۹۹۸). به علاوه نتایج آزمایش حاضر نشان داد که آنزیم کلیدی مسیر سنتز متیونین یعنی متیونین سینتاز (لکه‌های ۱۱۸ و ۱۸۷ به ترتیب با ۱/۶ و ۲/۸ برابر افزایش) در بذر جوانه‌زده در شرایط تنش دمای پایین بیش از بذر خشک بود (شکل ۵) که با نتایج کالیپارا و همکاران (۲۰۰۲) مبنی بر افزایش ۲/۵ برابر فعالیت این آنزیم در بذرهای ذرت جوانه‌زده در شرایط دمای پایین هماهنگ است. این آنزیم در طی مراحل اولیه جوانه‌زنی حداکثر بوده و در هنگام خروج ریشه‌چه کاهش می‌یابد. متیونین تولید شده از این آنزیم سپس با ترکیب شدن با ATP به آدنوزیل متیونین تبدیل شده که خود از پیش ماده‌های هورمون گازی اتیلن و

1. Proton motive force

2. Compartmentation

3. Protein disulphideisomerase

دیگری (لکه ۲۰۶ با ۱/۶ برابر افزایش) بود که با جوانهزنی بذر در شرایط دمای پایین افزایش یافت.

جدول ۳- پلی پپتیدهای که فراوانی آنها به میزان معنی دار در بذرهای جوانه زده در شرایط تنفس دمای پایین (دمای 6°C و پتانسیل آبی صفر بار) در مقایسه با بذرهای خشک متفاوت بود.

| pI | آزمایشی | تثویری | آزمایشی | وزن مولکولی (کیلودادتون) | شماره اکشن ^۷ | سطح معنی- داری | میزان تفاوت | نام پروتئین | شماره لکه بر روی ژل بعد دوم |
|------|---------|--------|-----------|-----------------------------|-------------------------|-------------------|----------------|-----------------------------------------------------------------------------------------------|-----------------------------------|
| 5.2 | 6.51 | 140 | 87.0 | gi 259130271 | 6.20E-05 | 2.4 | | high molecular weight glutenin [<i>Thinopyrum ponticum</i> x <i>Triticumaestivum</i>] | 23 |
| 5.35 | 6.51 | 140 | 87.0 | gi 259130271 | 1.60E-04 | 2.3 | | high molecular weight glutenin [<i>Thinopyrum ponticum</i> x <i>Triticumaestivum</i>] | 26 |
| 5.45 | | 140 | | | 4.10E-05 | 2.4 | | NI | 36 |
| 6.5 | 6.51 | 140 | 87.0 | gi 259130271 | 0.02 | 1.8 | | high molecular weight glutenin [<i>Thinopyrum ponticum</i> x <i>Triticumaestivum</i>] | 40 |
| | | | | | 0.009 | 3.3 | | NI | 43 |
| 6.15 | 6.51 | 140 | 87.0 | gi 259130271 | 0.001 | 2.3 | | high molecular weight glutenin [<i>Thinopyrum ponticum</i> x <i>Triticumaestivum</i>] | 44 |
| 5.85 | 6.51 | 135 | 87.0 | gi 259130271 | 0.01 | 1.8 | | high molecular weight glutenin [<i>Thinopyrum ponticum</i> x <i>Triticumaestivum</i>] | 49 |
| | | | | | 1.80E-04 | 2.1 | | NI | 50 |
| 5.35 | 6.51 | 135 | 87.0 | gi 259130271 | 0.027 | 1.5 | | high molecular weight glutenin [<i>Thinopyrum ponticum</i> x <i>Triticumaestivum</i>] | 53 |
| 5.6 | 6.05 | 125 | 110. 5 | gi 222619275 | 0.003 | 1.7 | | phosphoenolpyruvate carboxylase [<i>Oryza sativa</i>] | 54 |
| 6.3 | 7.55 | 125 | 74.4 | gi 38492341 | 0.018 | 2 | | x-type HMW glutenin [<i>Lophopyrum elongatum</i>] | 57 |
| 5.9 | 7.55 | 120 | 74.4 | gi 38492341 | 4.10E-04 | 1.9 | | x-type HMW glutenin [<i>Lophopyrum elongatum</i>] | 65 |
| 6.4 | | 125 | | | 0.01 | 1.8 | | NI | 66 |
| 6.5 | | 128 | | | 0.01 | 1.7 | | NI | 68 |
| 6.2 | 5.82 | 108 | 102. 5 | gi 186478394 | 5.10E-05 | 3.2 | | transcription factor [<i>Arabidopsis thaliana</i>] | 74 |
| 6.4 | 6.53 | 115 | 113. 2 | TC267698 | 0.015 | 2 | | Heat shock protein 101 | 87 |
| 5.9 | | 113 | | | 8.00E-04 | 1.9 | | NI | 97 |
| 6.5 | | 109 | 0.0 | | 0.01 | 2.1 | | NI | 110 |
| 6.65 | 6.88 | 100 | 70.9 | gi 13992211 | 8.40E-04 | 3.1 | | glutenin HMW [<i>Aegilops cylindrica</i>] | 113 |
| 6.1 | 5.68 | 105 | 84.8 | gi 50897038 | 0.04 | 1.6 | | methionine synthase [<i>Hordeum vulgare</i>] | 118 |
| 6.5 | | 109 | | | 0.01 | 2.2 | | NI | 127 |
| 6.15 | 6.08 | 80 | 80.5 | gi 46981760 | 0.015 | 1.6 | | HMW glutenin [<i>Aegilopstauschii</i>] | 130 |
| 6.05 | 5.93 | 80 | 84.1 | Q8W0Q7_SORBI | 4.00E-04 | 2.8 | | Methionine synthase [<i>Sorghum bicolor</i>] | 137 |
| 6.4 | | 70 | | | 0.02 | 2.1 | | NI | 142 |
| 6.2 | 6.08 | 69.5 | 74.0 | gi 297820936 | 8.90E-04 | 2.4 | | Microtubule associated protein [<i>Arabidopsis lyrata</i>] | 143 |
| 5.3 | 5.38 | 64.5 | 64.4 | gi 2493123 | 4.30E-04 | 1.7 | | V-ATPase 69 kDa subunit [<i>Hordeum vulgare</i>] | 144 |
| 5.45 | | 72 | | | 0.002 | 1.6 | | NI | 146 |
| 5.9 | 6.04 | 62 | 41.0 | gi 45826417 | 0.002 | 1.6 | | granule-bound starch synthase [<i>Solanum sisymbriifolium</i>] | 147 |
| 6.25 | 5.95 | 63.5 | 64.5 | gi 170280425 | 2.40E-04 | 2.8 | | polyphenol oxidase [<i>Triticum monococcum</i>] | 148 |
| 6.55 | 5.93 | 65 | 50.8 | gi 259130277 | 0.038 | 1.8 | | high molecular weight glutenin [<i>Thinopyrum ponticum</i> x <i>Triticumaestivum</i>] | 149 |
| 5.6 | 5.60 | 60 | 65.9 | gi 158513193 | 1.10E-04 | 1.9 | | Pyruvate decarboxylase isozyme 2 | 155 |
| | | | | | 0.003 | 2.2 | | | 156 |

ادامه جدول ۳- پلی پپتیدهای که فراوانی آنها به میزان معنی دار در بذرهای جوانه زده در شرایط تنش دمای پایین (دمای C^0 و پتانسیل آبی صفر بار) در مقایسه با بذرهای خشک متفاوت بود.

| | | | | | | |
|------|------|------|----------|--------------|---------------------------------------------------------|------|
| 5.7 | 65 | | 5.90E-04 | 2.1 | NI | 158 |
| 5.9 | 5.90 | 63 | 65.3 | gi 1009710 | 0.003 | 1.6 |
| | | | | | pyruvate decarboxylase 2 [<i>Oryza sativa</i>] | 159 |
| | | | | | phosphoenolpyruvate synthase | |
| 5.2 | 5.33 | 59.5 | 71.3 | gi 3319357 | 4.10E-04 | 2.2 |
| | | | | | [<i>Arabidopsis thaliana</i>] | 160 |
| 5.15 | 5.66 | 59 | 59.6 | gi 10953875 | 7.50E-06 | 2.4 |
| | | | | | beta-amylase [<i>Hordeum vulgare</i>] | 162 |
| 6.3 | 7.36 | 60 | 57.1 | gi 215398472 | 3.00E-03 | 2.5 |
| | | | | | globulin 3B [<i>Triticum aestivum</i>] | 167 |
| 6.55 | 7.36 | 58 | 57.1 | gi 215398472 | 1.80E-06 | 3.4 |
| | | | | | globulin 3B [<i>Triticum aestivum</i>] | 169 |
| 5.4 | 5.60 | 59 | 59.6 | gi 17736918 | 0.003 | 1.5 |
| | | | | | starch synthase I [<i>Triticum aestivum</i>] | 171 |
| 6.18 | | 55 | | | 8.10E-04 | 2.1 |
| | | | | | NI | 177 |
| | | | | | granule bound starch synthase I | |
| 6.8 | 6.16 | 58 | 67.0 | gi 48716089 | 4.00E-03 | 1.5 |
| | | | | | [<i>Hordeum bogdanicum</i>] | 178 |
| 5.75 | 5.65 | 52 | 57.9 | gi 38349539 | 1.29E-04 | 1.7 |
| | | | | | beta-amylase 1 [<i>Hordeum vulgare</i>] | 179 |
| 5.75 | 5.70 | 55.5 | 55.6 | gi 81176509 | 0.011 | 1.5 |
| | | | | | ATP Synthase [<i>Triticum aestivum</i>] | 180 |
| 6.22 | 5.21 | 55.5 | 56.8 | gi 24212082 | 2.80E-04 | 1.8 |
| | | | | | Phosphoethanolamine N-methyltransferase | 184 |
| 6.4 | | 45.5 | | | 0.002 | 1.5 |
| | | | | | NI | 200 |
| | | | | | protein disulfide isomerase precursor | |
| 6 | 5.95 | 55 | 58.6 | TC251262 | 9.50E-04 | 1.9 |
| | | | | | [<i>Arabidopsis thaliana</i>] | 206 |
| 5.35 | 5.70 | 51 | 48.4 | gi 162460735 | 0.002 | 1.8 |
| | | | | | enolase2 [<i>Zea mays</i>] | 210 |
| 5.45 | 5.54 | 53 | 68.5 | TC249903 | 9.30E-04 | 1.7 |
| | | | | | Beta-amylase | 212 |
| 6.1 | 6.60 | 38 | 24.6 | gi 37928995 | 0.001 | -1.6 |
| | | | | | cytosolic malate dehydrogenase | |
| | | | | | [<i>Triticum aestivum</i>] | 285 |
| 6.4 | 6.40 | 35.5 | 33.4 | gi 156630197 | 0.003 | 1.5 |
| | | | | | avenin-like protein [<i>Aegilops columnaris</i>] | 288 |
| 5.3 | 5.51 | 38 | 32.9 | gi 16580747 | 0.005 | -1.5 |
| | | | | | glyoxalase I [<i>Oryza sativa</i>] | 298 |
| 5.25 | | 33 | | | 1.62E-06 | -3.9 |
| | | | | | NI | 341 |
| 6.3 | | 28 | | | 0.035 | 1.5 |
| | | | | | NI | 349 |
| 6.65 | 6.31 | 28.5 | 24.2 | gi 190684059 | 2.52E-05 | -2 |
| | | | | | peroxiredoxin [<i>Triticum aestivum</i>] | 363 |
| 5.8 | 5.82 | 21 | 17.8 | gi 242041463 | 1.50E-04 | -2.4 |
| | | | | | 17.4 kDa class I heat shock protein 3 | 405 |
| 5.45 | 5.21 | 20.5 | 17.4 | gi 15231372 | 0.017 | -1.6 |
| | | | | | heat shock protein [<i>Arabidopsis thaliana</i>] | 406 |
| | | | | | heat shock protein 16.9. | |
| 6.3 | 6.41 | 20 | 21.5 | TC234994 | 0.003 | -1.8 |
| | | | | | [<i>Triticum aestivum</i>] | 407 |
| 5.78 | 5.83 | 20 | 16.9 | gi 123545 | 4.50E-05 | -3 |
| | | | | | Heat shock protein 17 | 414 |
| 5.25 | 5.21 | 18 | 17.4 | HSP11_ARATH | 3.40E-05 | -2.2 |
| | | | | | 17.4 heat shock protein [<i>Arabidopsis thaliana</i>] | 417 |
| 5.85 | | 18 | | | 0.002 | -1.5 |
| | | | | | NI | 427 |
| 6.7 | | 15 | | | 1.20E-02 | -1.5 |
| | | | | | Ni | 456 |
| 6.15 | 5.81 | 70 | 57.3 | gi 283896812 | 0.005 | 1.9 |
| | | | | | phosphoenolpyruvate carboxylase | |
| | | | | | [<i>Setaria palmifolia</i>] | 551 |
| 6.05 | 6.04 | 13.9 | 13.9 | gi 114215958 | 1.40E-04 | -1.6 |
| | | | | | dimeric alpha-amylase inhibitor | |
| | | | | | [<i>Aegilops searsii</i>] | 562 |
| 6.18 | 6.49 | 13 | 14.0 | gi 114215822 | 2.00E-02 | -1.5 |
| | | | | | dimeric alpha-amylase inhibitor | |
| | | | | | [<i>Aegilops bicornis</i>] | 563 |

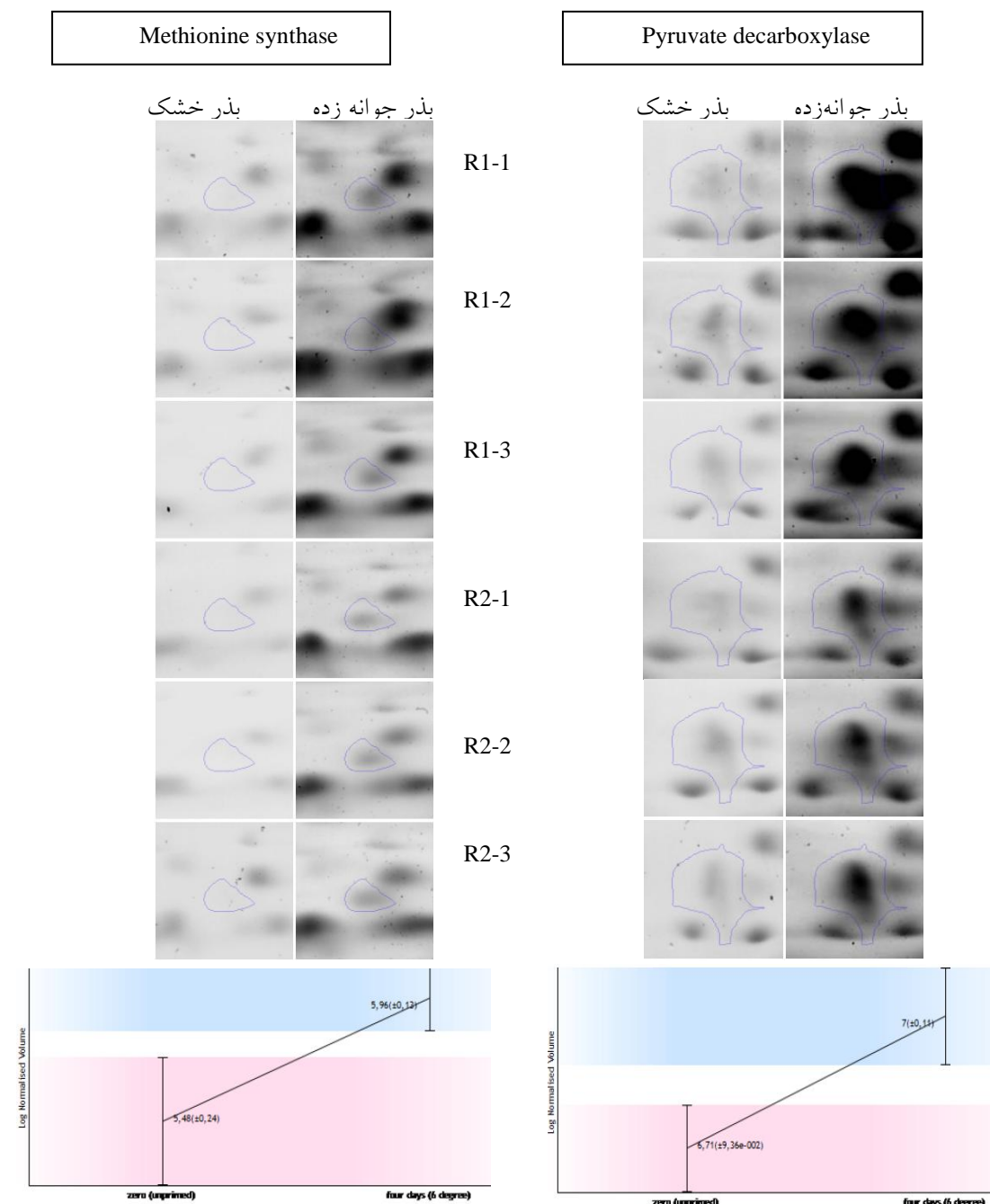
*در ستون میزان تغییرات، اعداد بدون علامت و با علامت منفی (-) به ترتیب نمایانگر نسبت افزایش و یا کاهش حجم لکه‌ها است. NI: شناسایی نشده (Not Identified) در بانک های اطلاعاتی NCBI, TIGR و یا SWISS-Prot. نقطه ایزوالکتریک (Isoelectric Point) یا pH بر روی ژل

بین زیروحدهای سیستئین در پروتئین در حال تاخوردن کاتالیز می‌نماید. این فرایند به پروتئین‌ها اجازه می‌دهد که ساختار مناسب خود را بازیابی نموده و در نتیجه در تاخورده‌گی پروتئین نیز ایفا نمی‌نماید (احسن و همکاران ۲۰۰۷). همانگونه که در شرایط بهینه رطوبتی و تنش خشکی نیز مشاهده شد، در شرایط دمای پایین نیز پروتئین شوک گرمایی (لکه‌های ۴۰۵، ۴۰۶ و ۴۱۴) بیشترین سهم را در پروتئین‌های

این پروتئین در شبکه اندوپلاسمی یوکاریوت‌ها فعال بوده و در جنین و لایه آلتورون بذر گندم نیز مشاهده شده است (لیوسلی و همکاران ۱۹۹۹). به علاوه فعالیت این پروتئین با جزء میکروزومی سلول وابسته بوده و فعالیت آن در سطح سلول نیز گزارش شده است. مشاهده شده که این پروتئین در حفظ تعادل ریدوکسی در شرایط تنش نقش دارد. PDI همچنین دارای نقش چاپرونی بوده و تشکیل و شکستن پیوند دی‌سولفیدی

کاهش) و ۴۰۵ (پروتئین شوک گرمایی ۱۷/۴ با ۲/۳ برابر کاهش) بیشترین مقدار تغییرات کاهشی را داشتند.

کاهش یافته به خود اختصاص داد (جدول ۳). در این میان نیز لکه‌های ۳۴۱ (شناسایی نشده با ۳/۹ برابر کاهش)، ۴۱۴ (پروتئین شوک گرمایی ۱۷ با ۳ برابر



شکل ۵- نمونه‌ای از تنظیم افزایشی پروتئین‌های متیونین سینتاز (لکه ۱۳۷؛ سمت چپ) و پیروات دکربوکسیلاز (لکه ۱۵۵؛ سمت راست) در مقایسه بذر جوانه‌زده با بذر خشک در شرایط تنش دمای پایین.

داد که با جوانه‌زنی بذر تغییرات عمدی‌های در الگوی پروتئینی توده بذری مورد آزمایش بوجود آمد. در راستای این نتایج بیشترین تغییرات افزایشی و کاهشی

نتیجه‌گیری
ارزیابی گروه‌های مختلف مقایسه‌ای میان بذرها
جوانه‌زده در محیط‌های مختلف و بذرها خشک نشان

کاهشی در مقایسات گروهی مختلف با پروتئین‌های ذخیره‌ای (گلوتین، گلوبولین و اوئین) مرتبط بودند. پروتئین‌های با نقش دوگانه ذخیره‌ای دفاعی (مانند سرپین و پروتئین بازدارنده آلفا-آمیلاز) در جایگاه بعدی قرار داشتند. پروتئین‌های ذخیره‌ای عمدتاً در طی دوره نمو بذر بر روی پایه مادری تجمع یافته و در طی دوره جوانه‌زنی بعدی متحرک شده و صرف فعالیت‌های رشدی جنین در حال جوانه‌زنی می‌شوند. در بذرها بیان این پروتئین‌ها در طول دوره جوانه‌زنی افزایش یافت. از طرفی، در مورد پروتئین‌های سرپین و بازدارنده آلفا-آمیلاز روند نسبتاً معکوسی مشاهده شد به این صورت که بیان این دو نوع پروتئین در بذر خشک بیشتر از بذرها جوانه‌زده بود.

در بیان پروتئین‌ها با جوانه‌زنی بذر در شرایط دمای پایین حاصل شد و بذرها جوانه‌زده در شرایط تنفس خشکی و شرایط بهنیه جایگاه‌های بعدی را داشتند. این نتایج مovid این موضوع است که سلول‌های بذری تنفس دمای پایین را بیشتر و سریع‌تر از تنفس خشکی احساس می‌کنند و این دو نسبت به شرایط بهنیه بیشتر احساس می‌شود، به عبارت دیگر می‌توان چنین نتیجه‌گیری کرد که جوانه‌زنی در شرایط تنفس (به‌ویژه تنفس‌های خشکی و دمای پایین) سبب افزایش احساس سلول و تغییر نهایت طلبی سلول‌ها در جهت جوانه‌زنی می‌شود. بر مبنای این نتایج شاید بتوان افزایش کارایی پرایمینگ بذر را در شرایط دمای پایین توجیه کرد. نتایج نشان دادند که بخش عمدۀ پروتئین‌های با تغییرات افزایشی و

REFERENCES

1. Ahsan, N., Lee., S.H. Lee., D.G. Lee., H. Lee., S. W. Bahk, J. D. & Byung-Hyun Lee. (2007). Physiological and protein profiles alternation of germinating rice seedlings exposed to acute cadmium toxicity. *C. R. Biologies*, 330, 735–746.
2. Bewley, J. D., Black, M. (1994). *Seeds: Physiology of Development and Germination*. New York: Plenum Press, pp. 445.
3. Bonsager, B. C. (2007). *Proteome analysis of dissected barley seed tissues during germination and radicle elongation and Heterologous expression of barley limit dextrinase inhibitor*. Ph.D. Thesis, Department of Chemistry, Carlsberg Laboratory and Enzyme and Protein Chemistry, BioCentrum-DTU, 193 pages.
4. Cui., S., Huang., F. Wang., J. Ma., X. Cheng, Y. & Liu, J. (2005). A proteomic analysis of cold stress responses in rice seedlings. *Proteomics*, 5, 3162–3172.
5. Dietz, K. J. N. Tavakoli. C. Kluge. T. Mimura., S. S. Sharma. G.C. Harris. A.N. Chardonnens, & Golldak, D. (2001). Significance of the V-type ATPase for the adaptation to stressful growth conditions and its regulation on molecular and biochemical level. *Journal of Experimental Botany*, 52 (363), 1969-1980.
6. Faria, J. M. R., Lammers., M. Ligterink., W. Kodde, J. & M. Hilhorst, H. W. (2007). Alterations in Gene Expression During Loss and Re-establishment of Desiccation Tolerance in Germinating and Germinated *Medicago truncatula* Seeds, CAB International 2007. *Seeds: Biology, Development and Ecology*, 50-56.
7. Finnie, C., Melchior., S. Roepstorff, P. & Svensson, B. (2002). Proteome analysis of grain filling and seed maturation in barley. *Plant Physiology*, 129, 1308–1319.
8. Finnie, C., K. Maeda., O. stergaard., K.S. Bak-Jensen., J. Larsen. & Svensson, B. (2004). Aspects of the barley seed proteome during development and germination. *Biochemical Society Transactions*, 32 (3), 517-519.
9. Foolad, M. R., Subbiah., P. Kramer, C. Hargrave, G. & Lin, G. Y. (2003). Genetic relationships among cold, salt and drought tolerance during seed germination in an interspecific cross of tomato. *Euphytica*, 130, 199-206.
10. Gallardo, K., C. Job., S. Groot., P.C. Puype., M. Demol., H. Vandekerckhove, J. & Job, D. (2001). Proteomic Analysis of Arabidopsis Seed Germination and Priming, *Plant Physiology*, 126, 835–848.
11. Gilliland, L. U., Pawloski., L. C. Kandasamy, M. K. & Meaghe, R. B. (2003). Arabidopsis actin gene ACT7 plays an essential role in germination and root growth. *The Plant Journal*, 33, 319–328.
12. Gonzalez, M. C., Osuna., L. Echevarr., C. Vidal, J. & Cejudo, F. J. (1999). Expression and Localization of Phosphoenolpyruvate Carboxylase in Developing and Germinating Wheat Grains. *Plant Physiol*, 116, 1249–1258.
13. Groot, S. P. C., Y. Soeda., G. Stoopen., Konings, M. C. J. M.. & Van Der Geest, A. H. M. (2002). Gene expression during loss and regaining of stress tolerance and drying. *The biology of seeds: recent research and advances*. CAB International, Wallingford, UK, 279-288.

14. Hong., S.W. & Vierling., E. (2000). Mutants of *Arabidopsis thaliana* defective in the acquisition of tolerance to high temperature stress. *Proc. Natl. Acad. Sci.*, USA, in press.
15. Kollipara, K. P., I. N. Saab., R. D. Wych., M. J. Lauer. & G. W. Singletary. (2002). Expression Profiling of Reciprocal Maize Hybrids Divergent for Cold Germination and Desiccation Tolerance. *Plant Physiology*, 129, 974–992.
16. Laino, P., Shelton., D. Finnie., C. De Leonardis., A. M. Mastrangelo., A. M. Svensson., B. Lafiandra, D. & Masci S. (2010). Comparative proteome analysis of metabolic proteins from seeds of durum wheat (cv. Svevo) subjected to heat stress. *Proteomics*, 10, 2359–2368.
17. Lee, D. G., N. Ahsan., S. H. Lee., J. J. Lee., Bahk., J. D. Kang., K. Y. Lee., B. H. (2009). Chilling stress-induced proteomic changes in rice roots. *J. Plant Physiol.*, 166 (1), 1-11
18. Mageneschi, L. & Perata., P. (2009). Rice germination and seedling growth in the absence of oxygen. *Annals of Botany*, 103, 181–196.
19. McDonald, M. B. (2000). Seed priming. In “Seed Technology and its Biological Basis” (M. Black and J. D. Bewley, Eds.), pp. 287–325. Sheffield Academic Press Ltd., Sheffield.
20. Murphy, J. B. & Hammer., M. F. (1994). Starch synthesis and localization in post-germination *Pinus edulis* seedlings. *Canadian Journal of Forest Research*, 24, (7) 1457-1463.
21. Orvar, B.L., V. Sangwan, F. Omann. & R. S. Dehinda. (2000). Early steps in cold sensing by plant cells: The role of actin cytoskeleton and membrane fluidity. *Plant J.*, 23, 785-794.
22. Pestsova, E., Meinhard., J. Menze., A. Fischer., U. Windhovel., A. & Westhoff, P. (2008). Transcript profiles uncover temporal and stress-induced changes of metabolic pathways in germinating sugar beet seeds. *BMC Plant Biology*, 122 (8), 1-22.
23. Seki, M., Narusaka., M. Abe., H. Kasuga., M. Yamaguchi-Shinozaki., K. Carninci., P. Hayashizaki, Y. & Shinozaki., K. (2001). Monitoring the Expression Pattern of 1300 *Arabidopsis* Genes under Drought and Cold Stresses by Using a Full-Length cDNA Microarray. *The Plant Cell*, 13, 61–72.
24. Sharma., P. Sharma., N. & Deswal., R. (2005). The molecular biology of the low- temperature response in plants. *BioEssays*, 27, 1048–1059.
25. Shewry, P. R. & N.G. Halford. (2002). Cereal seed storage proteins: structures, properties and role in grain utilization. *Journal of Experimental Botany*, 53, 947–958.
26. Soeda Y, C. J. M. Konings., O. Vorst., M. M. L. van Houwelingen., G. M. Stoopen, C. A. Maliepaard., J. Kodde., R. j. Bino., S. Groot P. & van der Geest., A. H. M. (2005). Gene expression programs during *Brassica oleracea* seed maturation, osmopriming, and germination are indicators of progression of the germination process and the stress tolerance level. *Plant Physiology*, 137, 354–368.
27. Villanueva, M. A. F. Campos. C. Doaaz., J. M. Colmenero-Flores. E. Danta. F. Sanchez. & A.A. Covarrubias. (1999). Actin expression in germinating seeds of *Phaseolus vulgaris* L. *Planta* 207, 582-589.
28. Wehmeyer., N. Hernandez., L. Finkelstein., R. & Vierling., E. (1996). Synthesis of small heat-shock proteins is part of the developmental program of late seed maturation. *Plant Physiol.*, 112, 757–757
29. Wehmeyer, N. & Vierling., E. (2000). The expression of small heat shock proteins in seeds responds to discrete developmental signals and suggests a general protective role in desiccation tolerance. *Plant Physiology*, 122, 1099–1108.
30. Wolkers, W., Alberda., M. Koornneef., M. Leon-Kloosterziel., K. & Hoekstra., F. (1998). Properties of proteins and the glassy matrix in maturation-defective mutant seeds of *Arabidopsis thaliana*. *Plant J.*, 16, 133–143